Документ подписан простой электронной подписью

Информация о владель ИНИИСТЕРСТВО НАУКИ И ВЫСШЕГО ОБРАЗОВАНИЯ ФИО: Баламирзоев Назим Диодинович ФЕДЕРАЛЬНОЕ ГОСУДАРСТВЕННОЕ БЮДЖЕТНОЕ Дата подписания: 07.07.2025 16:39:37 ОБРАЗОВАТЕЛЬНОЕ УЧРЕЖДЕНИЕ

Уникальный программный ключ:

ВЫСШЕГО ОБРАЗОВАНИЯ

5cf0d6f89e80f49a334f6a4ba58e91f3326b9926

# «ДАГЕСТАНСКИЙ ГОСУДАРСТВЕННЫЙ ТЕХНИЧЕСКИЙ УНИВЕРСИТЕТ»



# УЧЕБНО-МЕТОДИЧЕСКИЕ УКАЗАНИЯ

к выполнению курсового проекта по дисциплине «Конструкции из дерева и пластмасс»

# «Расчет клеефанерной стрельчатой арки»

для студентов специальности 08.05.01 «Строительство уникальных зданий и сооружений», специализации «Строительство высотных и большепролетных зданий»

Учебно-методические указания к выполнению курсового проекта по дисциплине КДиП «Расчет клеефанерной стрельчатой арки» для студентов специальности 08.05.01 «Строительство уникальных зданий и сооружений», специализации «Строительство высотных и большепролетных зданий»

Махачкала, ДГТУ, 2019г., 44 с.

Учебно-методические указания содержат основные сведения по расчёту клеефанерной стрельчатой арки. Приведен подробный пример расчёта клеефанерной стрельчатой арки, пример оформления графической части курсового проекта по дисциплине «Конструкции из дерева и пластмасс».

Составители: д.т.н., проф. Устарханов О.М.

ассистент Калиева М.Х.

Рецензенты: Декан ИФ, зав.кафедрой «Сейсмостойкое

строительство», ГАОУ ВО ДГУНХ

к.т.н., доцент Акаев А.И.

Профессор кафедры СКиГТС,

д.т.н. Юсупов А.К.

Печатается по постановлению Совета Дагестанского государственного технического университета  $N_2$  от 2019 г.

# Содержание

Введение	4 стр.
1. Задание к курсовому проекту	
2. Фанерная плита покрытия с дощатыми рёбрами	6 стр.
2.1 Компоновка сечения плиты покрытия	6 стр.
2.2 Подсчет нагрузок, действующих на плиту покрытия	8 стр.
2.3 Статический расчёт плиты покрытия	9 стр.
3. Проектирование несущей конструкции	11 стр.
3.1 Определение геометрических параметров арки	11 стр.
3.2 Определение координат, характерных сечений арки	13 стр.
3.3 Подсчет нагрузок, действующих на арку	14 стр.
4. Статический расчет арки	
4.1 Определение усилий от действия постоянной нагрузки	20 стр.
4.2 Определение усилий от действия снеговой нагрузки	21 стр.
4.3 Определение усилий от действия ветровой нагрузки с наветренной и	
заветренной стороны	
4.4 Определение сочетание усилий	26 стр.
5. Подбор сечения арки	28 стр.
6. Расчет узлов арки	32 стр.
6.1 Расчет опорного узла	32 стр.
6.2 Расчет конькового узла	
7. Устройство связей по покрытию	
8. Защита деревянных конструкций от гниения	39 стр.
9. Защита деревянных конструкций от возгорания	39 стр.
10.Защита металлических элементов и железобетонных конструкций	
от коррозии	
11. Пример графической части проекта	_
Список использованной литературы	44 стр.

#### Введение

Учебно-методические указания «Расчет клеефанерной стрельчатой арки» по дисциплине «Конструкции из дерева и пластмасс» предназначены для студентов архитектурно-строительного факультета, специальности 08.05.01 «Строительство уникальных зданий и сооружений», специализации «Строительство высотных и большепролетных зданий».

Данные учебно-методические указания помогут студентам выполнить расчет несущих конструкций в составе курсового проекта по дисциплине «Конструкции из дерева и пластмасс».

Учебно-методические указания содержат подробный пример расчета клеефанерной плиты покрытия и клеефанерной стрельчатой арки. Кроме того, в данных указаниях показан пример оформления графической части курсового проекта.

Для выполнения расчета необходимо проработать соответствующие теоретические разделы дисциплины по конспекту лекций или учебнику. Осуществляя подбор сечений, нужно стремиться к тому, чтобы они были наиболее экономичны и размеры их были увязаны с сортаментом лесоматериалов и технологическими условиями изготовления. Для подобранных сечений допускается запас прочности не более 20%.

При решении задач необходимо придерживаться требований СП 64.13330.2011 (Актуализированная редакция СНиП II-25-80).

## 1. Задание к курсовому проекту

Исходные данные для проектирования:

Для здания с параметрами:

- -пролёт 42 м;
- -шаг несущих конструкций 4 м;
- -длина здания 44 м;
- -район строительства г. Тюмень.

Необходимо спроектировать:

- -клеефанерную плиту покрытия с дощатыми ребрами;
- -клеефанерную стрельчатую арку.

Арочные конструкции в настоящее время являются наиболее распространенными основными несущими конструкциями деревянных покрытий зданий различного назначения. В практике зарубежного строительства применяют деревянные арки с пролетами до 100 м и более. Их изготовляют путем склеивания надежными синтетическими клеями гнутых и прямых клеедеревянных элементов значительных длин и сечений требуемой несущей способности.

Достоинствами клеедеревянных арок являются простота при изготовлении и монтаже, минимальное число элементов, повышенной предел огнестойкости и длительное сопротивление загниванию и разрушению в химически агрессивных средах.

Опыт проектирования показывает, что усилия в сечениях существенно зависят от радиуса кривизны. Оптимизация радиуса кривизны стрельчатых арок позволяет снизить расход материала до 15-20%. Радиус кривизны арки, при котором положительный момент  $M_{\rm I}$  равен отрицательному моменту  $M_{\rm II}$ , является оптимальным для заданного загружения. Поперечное сечения при этом радиусе получается наименьшим.

Проектируемое здание II уровня ответственности, неотапливаемое, с температурно-влажностными условиями эксплуатации - Б2. Район строительства: по снеговой нагрузке –III, для которого расчётный снеговой покров равен 180 кгс/м² (СНиП 2.01.07-85\* «Нагрузки и воздействия»); по ветровой нагрузке – II, для которого расчётная ветровая нагрузка равна 30 кгс/м² (СНиП 2.01.07-85\* «Нагрузки и воздействия»). Расчетная зимняя температура наружного воздуха, равная средней наиболее холодной пятидневки обеспеченностью 0.92 равна -38°С (СНиП 23-01-99(2003) «Строительная климатология»).

Несущими конструкциями являются дощатоклеенные стрельчатые арки, расположенные с шагом 4 м. Материал полуарок — древесина хвойных пород 1 сорта, клей для склеивания досок резорциновый марки ФР-12. Металлические элементы для узлов из стали Вст3пс6-1.

#### 2. Фанерная плита покрытия с дощатыми ребрами

#### 2.1 Компоновка сечения плиты покрытия

Кровля рубероидная трехслойная. Утеплитель – пенополистирол,  $\gamma_{yr}=150 \text{ кг/м}^3$ ,  $\lambda_{yr}=0.05 \text{ кВт}\cdot\text{C}^\circ/\text{m}^2$  (ГОСТ 15588-70\*). Пароизоляция – полиэтиленовая пленка толщиной 0.2 мм. Материалы для плиты: древесина – сосна 1-го сорта (ГОСТ 8486-86E), фанера марки ФСФ (ГОСТ 3916-69\*). Расстояние между осями несущих конструкций 4 м. Класс ответственности здания II:  $\gamma_n=0.95$ .

Расстояние между смежными плитами не должно быть меньше 20 мм, исходя из требования, определяем длину плиты (Рис. 1):  $L_{\text{пл}}$ =B-20=4000-20=3980 мм

где, В – шаг между несущими конструкциями.

Аналогично определяем ширину плиты (Рис. 1):  $b_{\pi\pi}=1500-10=1490$  мм.

Высоту сечения плиты назначаем из соотношения:

 $h_{\text{пл}} = (1/30 \div 1/40) L_{\text{пл}} => h_{\text{пл}} = L_{\text{пл}} \cdot 1/40 = 3980/40 = 99,5 \text{ мм}.$ 

Принимаем высоту плиты 120 мм (Рис. 1). Исходя из требований, что толщина верхней и нижней обшивок должно быть не менее  $t^B \ge 8$  мм и  $t^B \ge 6$  мм принимаем  $t^B = 10$  мм и  $t^B = 6$  мм. Толщина ребер равна  $t_p = 43$  мм после острожки (Рис. 1).

Высота рёбер получится:  $h_p = h_{nn} - (t^B + t^H) = 120 - (10 + 6) = 104$  мм (Рис. 1).

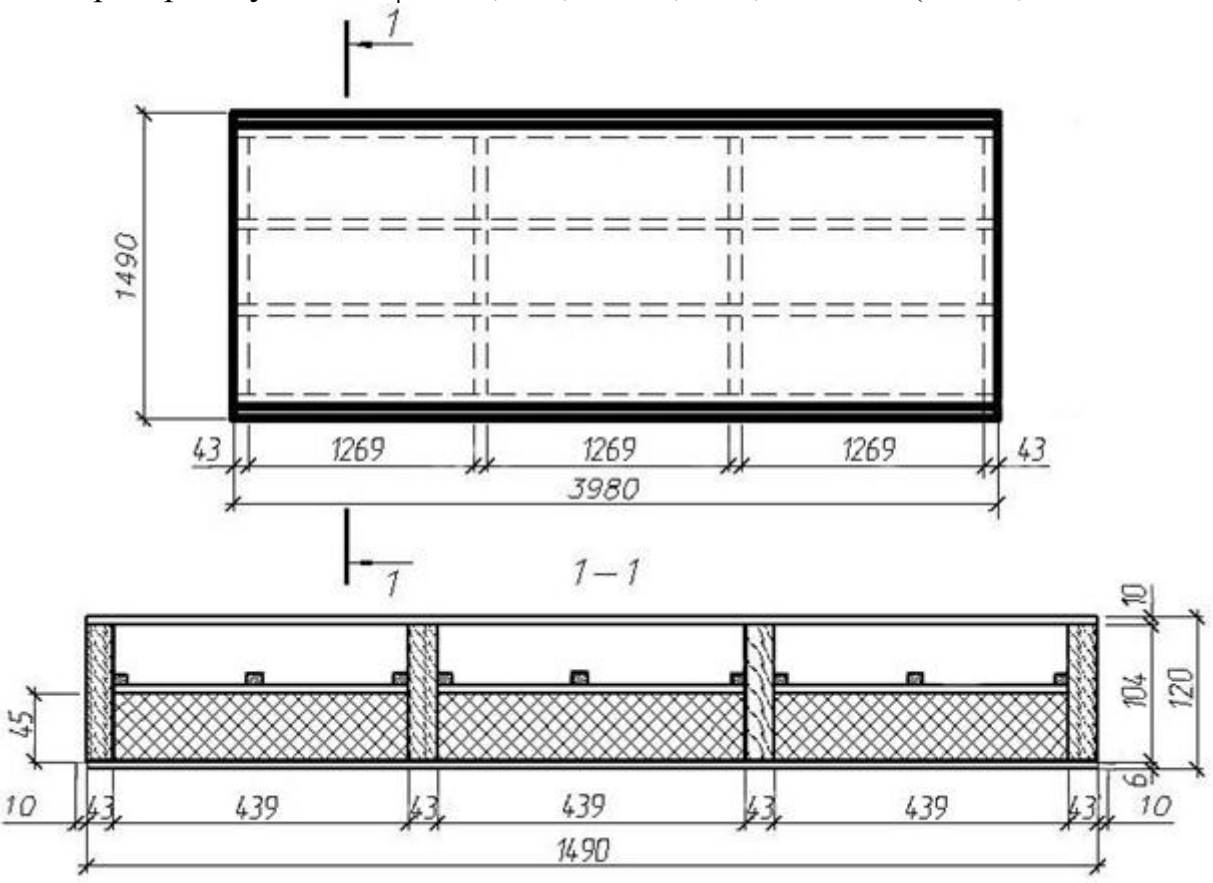


Рис 1. Конструктивные схемы к расчёту клеефанерной плиты с дощатыми рёбрами.

Продольные рёбра определяем в основном по условию расчёта на изгиб поперёк волокон наружных шпонов верхней фанерной обшивки при действии сосредоточенной нагрузки 1000 Н с коэффициентом перегрузки 1.2. (Рис.2).

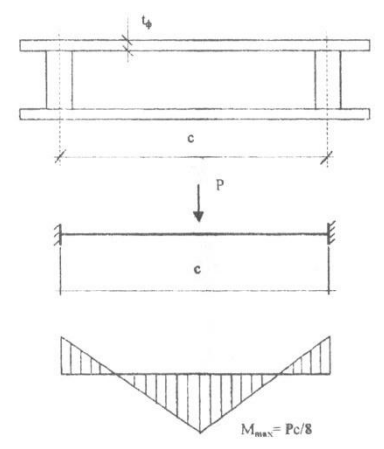


Рис 2. К расчету верхней обшивки клеефанерной панели.

Максимальный момент будет M<sub>max</sub>=Pc/8.

Момент сопротивления для полосы шириной 1 м=100 см будет W= $bh^2/6$ .

Изгибные напряжения в верхней обшивке поперёк волокон наружных шпонов

фанеры получится: 
$$\sigma_{_{\text{и}}} = \frac{M_{_{\text{max}}}}{W_{_{\varphi}}} = \frac{6P_{_{\text{c}}}}{8 \cdot 1000t_{_{\varphi}}^{^{2}}} = 9\frac{c}{t_{_{\varphi}}^{^{2}}} \le m_{_{\text{и}}}R_{_{\text{и}\varphi}}$$

Здесь  $m_{u}$ =1.2. Если приравнять  $\sigma_{u}$ =1.2 $R_{u,\varphi}$ , то получится  $9(c/t_{\varphi}^{2})$  $\leq$ 1.2 $R_{u,\varphi}$ , откуда расстояние между осями рёбер: c $\leq$ 1.3 $R_{u,\varphi}$ . $t_{\varphi}^{2}$ ,  $R_{u,\varphi}$ .=65кгс/см $^{2}$  (СНиП II-25-80\* «Деревянные конструкции», таблица 10), c $\leq$ 1.3·65·1 $^{2}$ =84.5 см (Рис.2).

Определяем необходимое количество продольных рёбер:

$$n_{\text{пр.реб.}} = [(b_{\text{пл}} - t_p)/c] + 1 = [(149 - 43)/84.5] + 1 = 2.714 \text{ шт.}$$

Принимаем количество продольных рёбер 4 штуки и уточняем

$$c = (b_{\text{пл}} - t_p)/(n_{\text{пр.реб.}} - 1) = (149 - 43)/(4 - 1) = 48.233$$
 см.

Листы фанеры со стандартными размерами b x l=1525x1525 мм состыковывают на «ус» в трёх местах по длине плиты (Рис. 3). Поперечные рёбра устраивают в торцах плиты и под стыками фанеры для обеспечения прочности стыков.

Количество поперечных рёбер определяется так:

$$n_{non.pe6} = \frac{L_{nn} - t_p}{l_{dan} - 12t^{6}} + 1 = \frac{3980 - 43}{1525 - 12 \cdot 1} + 1 = 3.802$$

Принимаем 4 ребра (Рис. 1).

Исходя из этого, уточняем размер фанерного листа вдоль длины плиты:

$$L_{\phi a H} = (L_{\pi \pi} - t_p)/(n_{\pi o \pi, pe6} - 1) + 12 \cdot t^B = [(3980 - 43)/(4 - 1)] + 12 \cdot 1 = 1432.333$$
 мм

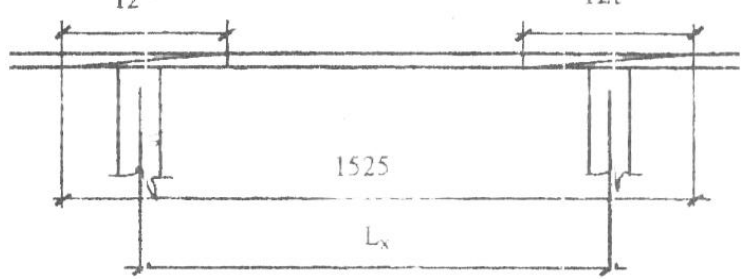


Рис 3. Стык фанеры на «ус».

Для удержания утеплителя в проектном положении установлена решётка из брусков сечением 25x25 мм, прикреплённый к рёбрам.

Из требований теплотехнического расчета плиты покрытия определяем толщину утеплителя:

$$\delta_{ym} = \left[ \frac{(t_{en} - t_{n})n}{\Delta t^{n} \alpha_{e}} - \left( \frac{1}{\alpha_{e}} + \frac{1}{\alpha_{n}} + \frac{\delta_{o\delta u}}{\lambda_{o\delta u}} \right) \right] \lambda_{ym} =$$

$$= \left[ \frac{(16 - (-38)) \cdot 1}{6 \cdot 8.7} - \left( \frac{1}{8.7} + \frac{1}{23} + \frac{0.006}{0.15} \right) \right] \cdot 0.05 = 0.042 \quad m = 45 \quad mm$$

 $t_{\text{вн}}$  — расчетная температура внутреннего воздуха, °C, принимаемый согласно ГОСТ 30494-96 и СНиП 23–02–2003 «Тепловая защита зданий»,  $t_{\text{вн}}$ =16 °C;

 $t_{\rm H}$  — расчетная зимняя температура наружного воздуха, равная средней наиболее холодной пятидневки обеспеченностью 0.92, принимаемый согласно СНиП 23-01-99 (2003) «Строительная климатология»,  $t_{\rm H}$ =-38 °C;

 $\Delta t^{\text{H}}$ =0.8( $t_{\text{вн}}$ - $t_{\text{н}}$ )≤6 — нормативный температурный перепад между температурой внутреннего воздуха и температурой внутренней поверхности ограждающей конструкции, принимаемый согласно СНиП 23–02–2003 «Тепловая защита зданий»;

- $\alpha_{\text{в}}$  коэффициент тепловосприятия внутренней поверхности ограждающих конструкций, принимаемый согласно СНиП 23–02–2003 «Тепловая защита зданий»;
- α<sub>н</sub> коэффициент теплоотдачи наружней поверхности ограждающих конструкций, принимаемый согласно СНиП 23–02–2003 «Тепловая защита зданий»;
- п коэффициент, принимаемый в зависимости от положения наружной поверхности ограждающих конструкций по отношению к наружному воздуху, принимаемый согласно СНиП 23–02–2003 «Тепловая защита зданий»;

 $\lambda_{yr}$ =0.05 кВт·С°/м² — расчетный коэффициент теплопроводности утеплителя, принимаемый согласно СНиП 23–02–2003 «Тепловая защита зданий»;

 $\lambda_{\text{фан}}$ =0.15 кВт·С°/м² — расчетный коэффициент теплопроводности фанеры, принимаемый согласно СНиП 23–02–2003 «Тепловая защита зданий»;

 $\delta_{\text{обш}} = t^{\text{H}} = 0.006 \text{ м} - \text{толщина обшивки утеплителя.}$ 

Принимаем утеплитель толщиной  $\delta_{vr}$ =45 мм=0.045 м.

### 2.2 Подсчет нагрузок, действующих на плиту покрытия

- 1. Нормативная нагрузка от собственного веса плиты без утеплителя:
- а) Ребра каркаса:  $g_p = [L_{\pi\pi}t_p h_p n_{\pi p.p} + h_p t_p (c-t_p) n_{\pi o \pi.p.} (n_{\pi p.p} 1) \rho_{\pi p}]/L_{\pi\pi} = [3.98 \cdot 0.043 \cdot 0.104 \cdot 4 + 0.104 \cdot 0.043 \cdot (0.48233 0.044) \cdot 4 \cdot (4-1) \cdot 7]/3.98 = 0.119 кH/м;$
- б) Фанерные полки:  $g_n = [(t^B + t^H)BL_{nn}\rho_{\varphi}]/L_{nn} = [(0.01 + 0.006) \cdot 1.5 \cdot 3.98 \cdot 7]/3.98 = 0.168$  кH/м;
  - в) Прижимные бруски:

$$\begin{split} g_{\text{d}} = &ab[b_{\text{\tiny SYL}}(n_{\text{\tiny HOH,p}}-1)(n_{\text{\tiny HP,p}}-1)n^{\text{\tiny HOH}}_{\text{\tiny HP,Gp}} + l_{\text{\tiny SYL}}(n_{\text{\tiny HOH,p}}-1)(n_{\text{\tiny HP,p}}-1)n^{\text{\tiny HPOH}}_{\text{\tiny HP,Gp}}\rho_{\text{\tiny AP}}]/L_{\text{\tiny HA}} = \\ = &0.025 \cdot 0.025 \cdot [0.4393 \cdot (4\text{-}1) \cdot (4\text{-}1) \cdot 2 + 1.2693 \cdot (4\text{-}1) \cdot (4\text{-}1) \cdot 3) \cdot 5/3.98 = 0.033 \text{ kH/m}; \end{split}$$

- 2. Нормативная нагрузка от веса утеплителя:  $g_{yr}=b_{sq}l_{sq}\gamma_{yr}\delta_{yr}(n_{non.p}-1)(n_{np.p}-1)/L_{пл}=$  =0.4393·1.2693·1.5·0.045·(4-1)·(4-1)/3.98=0,085 кH/м;
- 3. Рубероидная кровля:  $g_{py6} = q_{py6}b = 0.1 \cdot 1.5 = 0.15$  кН/м (трёхслойный рубероид);
- 4. Нормативная снеговая нагрузка:  $g_{cH} = (S_{cH}/\gamma_f) \cdot b = (1.8/1.4) \cdot 1.5 = 1.929 \text{ кH/м}.$

Плотность древесины (по СНиП II-25-80\* «Деревянные конструкции», приложение 3):  $\rho_{дp}$ =500 кгс/м³=5 кН/м³.

Плотность фанеры:  $\rho_{\phi}$ =700 кгс/м<sup>3</sup>=7 кН/м<sup>3</sup>.

Вес 3-ехслойного рубероида:  $q_{py6}=10 \text{ кгс/м}^2=0.1 \text{ кH/m}^2$ .

Количество прижимных брусков в поперечном направлении  $n_{\text{пр.бр}}^{\text{поп}}=2$  штуки, в продольном –  $n_{\text{пр.бр}}^{\text{прод}}=3$ . Сечение прижимных брусков: а х b=0.025 х 0.025 м.

Размеры ячеек:  $b_{\text{яч}}$ =c- $t_{\text{p}}$ =482.333-43=439.333 мм,

 $1_{\text{Hy}} = (L_{\text{пл}} - n_{\text{поп,p}} t_p) / (n_{\text{поп,p}} - 1) = (3980 - 4.43) / (4-1) = 1269.333 \text{ MM}.$ 

Коэффициент надежности по снеговой нагрузке  $\gamma_f$ =1.4 (СНиП 2.01.07-85\* «Нагрузки и воздействия»).

Все нагрузки, действующие на плиту, приведены в таблице 1.

#### Нагрузки на плиту, кН/м

Таблица 1

Подсчёт нагрузок	Нормативная, кН/м	n (коэффициент перегрузки)	Расчётная, кН/м
Рубероидная кровля	0.150	1.1	0.165
Фанерные полки	0.168	1.1	0.185
Ребра	0.119	1.3	0.155
Прижимные бруски	0.033	1.1	0.036
Утеплитель	0.085	1.2	0.102
Постоянная	0.555	-	0.643
Снеговая	1.929	1.4	2.700
Полная	2.424	-	3.343

#### 2.3 Статический расчёт плиты покрытия

Расчётная схема плиты покрытия представляет собой шарнирно-опёртую балку на двух опорах (Рис. 4). Расчетные характеристики материалов (СНиП II-25-80\* «Деревянные конструкции», таблица 10):  $R_{_{\rm ИЗГ, фан}}$ =65 кгс/см²=6.5 кН/м²,  $R_{_{\rm Раст. фан}}$ =140 кгс/см²=14 кН/м²,  $R_{_{\rm Сж. фан}}$ =120 кгс/см²=12 кН/м²,  $R_{_{\rm фан}90^{\circ}}$ =65 кгс/см²=6.5 кН/м²,  $R_{_{\rm Ск. фан}}$ =8 кгс/см²=0.8 кН/м²,  $R_{_{\rm Ск. др}}$ =16 кгс/см²=1.6 кН/м².

Расчётные усилия в плите равны:

$$M = \frac{qL_p^2}{8} = 3.343 \cdot \frac{3.92^2}{8} = 6.422 \,\kappa H \cdot M$$
$$Q = \frac{qL_p}{2} = 3.343 \cdot \frac{3.92}{2} = 6.553 \,\kappa H$$

где, расчётный пролёт плиты:  $L_p = L_{\text{пл}} - 0.06 = 3.98 - 0.06 = 3.92$  м.

Геометрические характеристики поперечного сечения плиты c=48.233 см; L=392 см>6c=6.48.233=289.4 см.

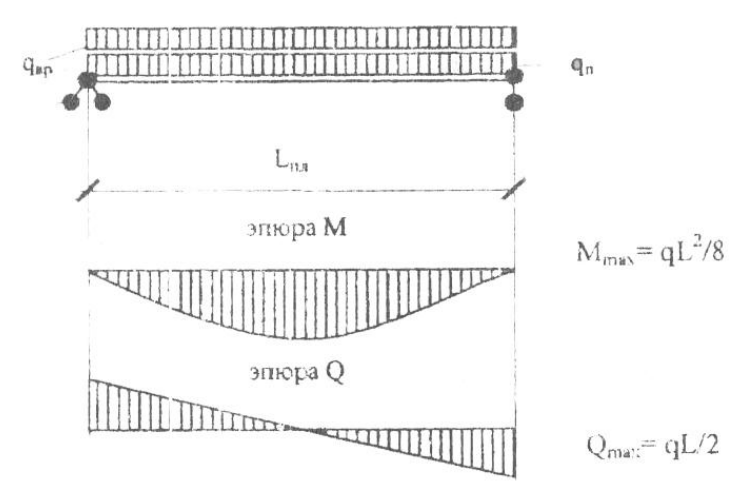


Рис 4. Расчетная схема плиты.

Приведённая ширина полки:  $b_{pacy}$ =0.9·b=0.9·149=134.1 см.

Расчёт ведём по приведённым к верхней полке геометрическим характеристикам. Отношение модулей упругости древесины и фанеры (СНиП II-25-80\* «Деревянные конструкции», таблица 11):  $E_{дp}/E_{\varphi}=10000/9000=1.111$ 

Приведённая площадь сечения:

$$F_{npus} = F_{\phi.n.} + F_{\phi.s.} + F_p = b_{pac^q} \cdot t^n + b_{pac^q} \cdot t^s + n_{np.p} h_p t_p E_{\partial p} / E_{\phi} =$$

$$= 134.1 \cdot 0.6 + 134.1 \cdot 1 + 4 \cdot 10.4 \cdot 4.3 \cdot 1.111 = 80.46 + 134.1 + 178.88 = 413.316 \text{ cm}^2$$

где,  $F_{\phi.н.}$ ,  $F_{\phi.в.}$ ,  $F_{p}$  — расчётная площадь нижней, верхней обшивок и продольных ребер соответственно.

Приведённый статический момент сечения относительно нижней грани плиты (ось 0-0):

$$S_{np} = F_{\phi.u.} \cdot t^{u} / 2 + F_{\phi.s} (h_{nn} - t^{s} / 2) + F_{p} (h_{p} / 2 + t^{u}) =$$

$$= 80.46 \cdot 0.6 / 2 + 134.1 \cdot (120 - 1/2) + 178.88 \cdot (10.4 / 2 + 0.6) = 2603.792 \text{ cm}^{3}$$

Расстояние от нижней грани плиты (ось 0-0) до центра тяжести сечения (ось у-у):

$$y_0 = \frac{S_{np}}{F_{np}} = \frac{2603.792}{413.316} = 6.3 \, \text{cm}$$

Расстояние от верхней грани плиты до центра тяжести:

$$h_{n\pi} - y_0 = 12 - 6.3 = 5.7 \text{ cm}$$

Приведённый момент инерции находим:

$$I_{npu6} = F_{\phi.n.}(y_0 - \frac{t^n}{2})^2 + F_{\phi.6.}[(h_{nn} - y_0) - \frac{t^6}{2}]^2 + n_{np.p} \cdot \frac{t_p h_p^3}{12} \cdot \frac{E_{\delta p}}{E_{\phi}} + F_p[y_0 - (\frac{h_p}{2} + t^n)]^2 =$$

$$= 80.46 \cdot (6.3 - \frac{0.6}{2})^2 + 134.1 \cdot [5.7 - \frac{1}{2}]^2 + 4 \cdot \frac{4.3 \cdot 10.4^3}{12} \cdot 1.111 +$$

$$+ 44.72 \cdot [6.3 - (\frac{10.4}{2} + 0.6)] = 8325.343 \text{ cm}^4$$

Моменты сопротивления определяем по формулам:

$$W_{np}^{"} = \frac{I_{np}}{y_0} = \frac{8325.343}{6.3} = 1321.532 \text{ cm}^3, \quad W_{np}^{"} = \frac{I_{np}}{h_{nn} - y_0} = \frac{8325.343}{5.7} = 1460.527 \text{ cm}^3$$

Прочность нижней полки определяем по формуле:

$$\sigma_{np}^{\ \ 6} = \frac{M}{W_{np}^{\ \ n}} = \frac{6.422 \cdot 100}{1321.532} = 0.486 \ \kappa H / cm^2 \ 4.859 \ M\Pi a \le R_{\phi.p} k_{\phi} / \gamma_n = 14 \cdot 0.6 / 0.95 = 8.842 \quad M\Pi a \le R_{\phi.p} k_{\phi} / \gamma_n = 14 \cdot 0.6 / 0.95 = 8.842 \quad M\Pi a \le R_{\phi.p} k_{\phi} / \gamma_n = 14 \cdot 0.6 / 0.95 = 8.842 \quad M\Pi a \le R_{\phi.p} k_{\phi} / \gamma_n = 14 \cdot 0.6 / 0.95 = 8.842 \quad M\Pi a \le R_{\phi.p} k_{\phi} / \gamma_n = 14 \cdot 0.6 / 0.95 = 8.842 \quad M\Pi a \le R_{\phi.p} k_{\phi} / \gamma_n = 14 \cdot 0.6 / 0.95 = 8.842 \quad M\Pi a \le R_{\phi.p} k_{\phi} / \gamma_n = 14 \cdot 0.6 / 0.95 = 8.842 \quad M\Pi a \le R_{\phi.p} k_{\phi} / \gamma_n = 14 \cdot 0.6 / 0.95 = 8.842 \quad M\Pi a \le R_{\phi.p} k_{\phi} / \gamma_n = 14 \cdot 0.6 / 0.95 = 8.842 \quad M\Pi a \le R_{\phi.p} k_{\phi} / \gamma_n = 14 \cdot 0.6 / 0.95 = 8.842 \quad M\Pi a \le R_{\phi.p} k_{\phi} / \gamma_n = 14 \cdot 0.6 / 0.95 = 8.842 \quad M\Pi a \le R_{\phi.p} k_{\phi} / \gamma_n = 14 \cdot 0.6 / 0.95 = 8.842 \quad M\Pi a \le R_{\phi.p} k_{\phi} / \gamma_n = 14 \cdot 0.6 / 0.95 = 8.842 \quad M\Pi a \le R_{\phi.p} k_{\phi} / \gamma_n = 14 \cdot 0.6 / 0.95 = 8.842 \quad M\Pi a \le R_{\phi.p} k_{\phi} / \gamma_n = 14 \cdot 0.6 / 0.95 = 8.842 \quad M\Pi a \le R_{\phi.p} k_{\phi} / \gamma_n = 14 \cdot 0.6 / 0.95 = 8.842 \quad M\Pi a \le R_{\phi.p} k_{\phi} / \gamma_n = 14 \cdot 0.6 / 0.95 = 8.842 \quad M\Pi a \le R_{\phi.p} k_{\phi} / \gamma_n = 14 \cdot 0.6 / 0.95 = 8.842 \quad M\Pi a \le R_{\phi.p} k_{\phi} / \gamma_n = 14 \cdot 0.6 / 0.95 = 8.842 \quad M\Pi a \le R_{\phi.p} k_{\phi} / \gamma_n = 14 \cdot 0.6 / 0.95 = 8.842 \quad M\Pi a \le R_{\phi.p} k_{\phi} / \gamma_n = 14 \cdot 0.6 / 0.95 = 8.842 \quad M\Pi a \le R_{\phi.p} k_{\phi} / \gamma_n = 14 \cdot 0.6 / 0.95 = 8.842 \quad M\Pi a \le R_{\phi.p} k_{\phi} / \gamma_n = 14 \cdot 0.6 / 0.95 = 8.842 \quad M\Pi a \le R_{\phi.p} k_{\phi} / \gamma_n = 14 \cdot 0.6 / 0.95 = 8.842 \quad M\Pi a \le R_{\phi.p} k_{\phi} / \gamma_n = 14 \cdot 0.6 / 0.95 = 8.842 \quad M\Pi a \le R_{\phi.p} k_{\phi} / \gamma_n = 14 \cdot 0.6 / 0.95 = 8.842 \quad M\Pi a \le R_{\phi.p} k_{\phi} / \gamma_n = 14 \cdot 0.6 / 0.95 = 8.842 \quad M\Pi a \le R_{\phi.p} k_{\phi} / \gamma_n = 14 \cdot 0.6 / 0.95 = 8.842 \quad M\Pi a \le R_{\phi.p} k_{\phi} / \gamma_n = 14 \cdot 0.6 / 0.95 = 8.842 \quad M\Pi a \le R_{\phi.p} k_{\phi} / \gamma_n = 14 \cdot 0.6 / 0.95 = 8.842 \quad M\Pi a \le R_{\phi.p} k_{\phi} / \gamma_n = 14 \cdot 0.6 / 0.95 = 8.842 \quad M\Pi a \le R_{\phi.p} k_{\phi} / \gamma_n = 14 \cdot 0.6 / 0.95 = 8.842 \quad M\Pi a \le R_{\phi.p} k_{\phi} / \gamma_n = 14 \cdot 0.84$$

Устойчивость верхней полки определяем по формуле:

$$\sigma = \frac{M}{\varphi_{\phi} \cdot W_{np}^{\ \ 6}} = \frac{6.422 \cdot 100}{0.648 \cdot 1460.527} = 0.679 \ \kappa H \ / \ cm^2 \ 6.789 \ M\Pi a \le R_{\phi.c.} \ / \ \gamma_n = 12 \ / \ 0.95 = 12.632 \ \ M\Pi a = 12 \ / \$$

где, при 
$$b_0/t_\phi = 43.933/1 = 43.933 < 50 = \phi_\phi = 1 - \frac{(b_0/t_\phi)^2}{5000} = 1 - \frac{43.933^2}{5000} = 0.614$$

Проверка верхней полки на местный изгиб:

$$\sigma = \frac{6Pc}{(8\cdot100t^2)} = \frac{6\cdot1.2\cdot48.233}{(8\cdot100\cdot1^2)} = 0.434 \,\kappa H / c M^3 \, 4.341 \, M \Pi a \leq R_{\phi.u.90} m_{_H} / \gamma_{_H} = 6.5\cdot1.2 / 0.95 = 8.211 \quad M \Pi a \leq R_{\phi.u.90} m_{_H} / \gamma_{_H} = 6.5\cdot1.2 / 0.95 = 8.211 \quad M \Pi a \leq R_{\phi.u.90} m_{_H} / \gamma_{_H} = 6.5\cdot1.2 / 0.95 = 8.211 \quad M \Pi a \leq R_{\phi.u.90} m_{_H} / \gamma_{_H} = 6.5\cdot1.2 / 0.95 = 8.211 \quad M \Pi a \leq R_{\phi.u.90} m_{_H} / \gamma_{_H} = 6.5\cdot1.2 / 0.95 = 8.211 \quad M \Pi a \leq R_{\phi.u.90} m_{_H} / \gamma_{_H} = 6.5\cdot1.2 / 0.95 = 8.211 \quad M \Pi a \leq R_{\phi.u.90} m_{_H} / \gamma_{_H} = 6.5\cdot1.2 / 0.95 = 8.211 \quad M \Pi a \leq R_{\phi.u.90} m_{_H} / \gamma_{_H} = 6.5\cdot1.2 / 0.95 = 8.211 \quad M \Pi a \leq R_{\phi.u.90} m_{_H} / \gamma_{_H} = 6.5\cdot1.2 / 0.95 = 8.211 \quad M \Pi a \leq R_{\phi.u.90} m_{_H} / \gamma_{_H} = 6.5\cdot1.2 / 0.95 = 8.211 \quad M \Pi a \leq R_{\phi.u.90} m_{_H} / \gamma_{_H} = 6.5\cdot1.2 / 0.95 = 8.211 \quad M \Pi a \leq R_{\phi.u.90} m_{_H} / \gamma_{_H} = 6.5\cdot1.2 / 0.95 = 8.211 \quad M \Pi a \leq R_{\phi.u.90} m_{_H} / \gamma_{_H} = 6.5\cdot1.2 / 0.95 = 8.211 \quad M \Pi a \leq R_{\phi.u.90} m_{_H} / \gamma_{_H} = 6.5\cdot1.2 / 0.95 = 8.211 \quad M \Pi a \leq R_{\phi.u.90} m_{_H} / \gamma_{_H} = 6.5\cdot1.2 / 0.95 = 8.211 \quad M \Pi a \leq R_{\phi.u.90} m_{_H} / \gamma_{_H} = 6.5\cdot1.2 / 0.95 = 8.211 \quad M \Pi a \leq R_{\phi.u.90} m_{_H} / \gamma_{_H} = 6.5\cdot1.2 / 0.95 = 8.211 \quad M \Pi a \leq R_{\phi.u.90} m_{_H} / \gamma_{_H} = 6.5\cdot1.2 / 0.95 = 8.211 \quad M \Pi a \leq R_{\phi.u.90} m_{_H} / \gamma_{_H} = 6.5\cdot1.2 / 0.95 = 8.211 \quad M \Pi a \leq R_{\phi.u.90} m_{_H} / \gamma_{_H} = 6.5\cdot1.2 / 0.95 = 8.211 \quad M \Pi a \leq R_{\phi.u.90} m_{_H} / \gamma_{_H} = 6.5\cdot1.2 / 0.95 = 8.211 \quad M \Pi a \leq R_{\phi.u.90} m_{_H} / \gamma_{_H} = 6.5\cdot1.2 / 0.95 = 8.211 \quad M \Pi a \leq R_{\phi.u.90} m_{_H} / \gamma_{_H} = 6.5\cdot1.2 / 0.95 = 8.211 \quad M \Pi a \leq R_{\phi.u.90} m_{_H} / \gamma_{_H} = 6.5\cdot1.2 / 0.95 = 8.211 \quad M \Pi a \leq R_{\phi.u.90} m_{_H} / \gamma_{_H} = 6.5\cdot1.2 / 0.95 = 8.211 \quad M \Pi a \leq R_{\phi.u.90} m_{_H} / \gamma_{_H} = 6.5\cdot1.2 / 0.95 = 8.211 \quad M \Pi a \leq R_{\phi.u.90} m_{_H} / \gamma_{_H} = 6.5\cdot1.2 / 0.95 = 8.211 \quad M \Pi a \leq R_{\phi.u.90} m_{_H} / \gamma_{_H} = 6.5\cdot1.2 / 0.95 = 8.211 \quad M \Pi a \leq R_{\phi.u.90} m_{_H} / \gamma_{_H} = 6.5\cdot1.2 / 0.95 = 8.211 \quad M \Pi a \leq R_{\phi.u.90} m_{_H} / \gamma_{_H} = 6.5\cdot1.2 / 0.95 = 8.211 \quad M \Pi a \leq R_{\phi.u.90} m_{_H} / \gamma_{_H} = 6.5\cdot1.2 / 0.95 = 8.211 \quad M \Pi a \leq R_{\phi.u.90} m_{_H} / \gamma_{_H} =$$

Напряжения скалывания в шве между шпонами фанеры верхней полки:

$$\tau_{\phi} = \frac{QS_{\phi}}{I_{np} \sum b_{p}} = \frac{6.553 \cdot 697.351}{8325.343 \cdot 4 \cdot 4.3} = 0.032 \,\kappa H / \,cm^{2} \, 0.319 \, M\Pi a \leq R_{\phi.c\kappa.} / \,\gamma_{n} = 0.84 / \,0.95 = 0.842 \quad M\Pi a \leq R_{\phi.c\kappa} / \,\gamma_{n} = 0.84 / \,0.95 = 0.842 \, M\Pi a \leq R_{\phi.c\kappa} / \,\gamma_{n} = 0.84 / \,0.95 = 0.842 \, M\Pi a \leq R_{\phi.c\kappa} / \,\gamma_{n} = 0.84 / \,0.95 = 0.842 \, M\Pi a \leq R_{\phi.c\kappa} / \,\gamma_{n} = 0.84 / \,0.95 = 0.842 \, M\Pi a \leq R_{\phi.c\kappa} / \,\gamma_{n} = 0.84 / \,0.95 = 0.842 \, M\Pi a \leq R_{\phi.c\kappa} / \,\gamma_{n} = 0.84 / \,0.95 = 0.842 \, M\Pi a \leq R_{\phi.c\kappa} / \,\gamma_{n} = 0.84 / \,0.95 = 0.842 \, M\Pi a \leq R_{\phi.c\kappa} / \,\gamma_{n} = 0.84 / \,0.95 = 0.842 \, M\Pi a \leq R_{\phi.c\kappa} / \,\gamma_{n} = 0.84 / \,0.95 = 0.842 \, M\Pi a \leq R_{\phi.c\kappa} / \,\gamma_{n} = 0.84 / \,0.95 = 0.842 \, M\Pi a \leq R_{\phi.c\kappa} / \,\gamma_{n} = 0.84 / \,0.95 = 0.842 \, M\Pi a \leq R_{\phi.c\kappa} / \,\gamma_{n} = 0.84 / \,0.95 = 0.842 \, M\Pi a \leq R_{\phi.c\kappa} / \,\gamma_{n} = 0.84 / \,0.95 = 0.842 \, M\Pi a \leq R_{\phi.c\kappa} / \,\gamma_{n} = 0.84 / \,0.95 = 0.842 \, M\Pi a \leq R_{\phi.c\kappa} / \,\gamma_{n} = 0.84 / \,0.95 = 0.842 \, M\Pi a \leq R_{\phi.c\kappa} / \,\gamma_{n} = 0.84 / \,0.95 = 0.842 \, M\Pi a \leq R_{\phi.c\kappa} / \,\gamma_{n} = 0.84 / \,0.95 = 0.842 \, M\Pi a \leq R_{\phi.c\kappa} / \,\gamma_{n} = 0.84 / \,0.95 = 0.842 \, M\Pi a \leq R_{\phi.c\kappa} / \,\gamma_{n} = 0.84 / \,0.95 = 0.842 \, M\Pi a \leq R_{\phi.c\kappa} / \,\gamma_{n} = 0.84 / \,0.95 = 0.842 \, M\Pi a \leq R_{\phi.c\kappa} / \,\gamma_{n} = 0.84 / \,0.95 = 0.842 \, M\Pi a \leq R_{\phi.c\kappa} / \,\gamma_{n} = 0.84 / \,0.95 = 0.842 \, M\Pi a \leq R_{\phi.c\kappa} / \,\gamma_{n} = 0.84 / \,0.95 = 0.842 \, M\Pi a \leq R_{\phi.c\kappa} / \,\gamma_{n} = 0.84 / \,0.95 = 0.842 \, M\Pi a \leq R_{\phi.c\kappa} / \,\gamma_{n} = 0.84 / \,0.95 = 0.842 \, M\Pi a \leq R_{\phi.c\kappa} / \,\gamma_{n} = 0.84 / \,0.95 = 0.842 \, M\Pi a \leq R_{\phi.c\kappa} / \,\gamma_{n} = 0.84 / \,0.95 = 0.842 \, M\Pi a \leq R_{\phi.c\kappa} / \,\gamma_{n} = 0.84 / \,0.95 = 0.842 \, M\Pi a \leq R_{\phi.c\kappa} / \,\gamma_{n} = 0.84 / \,0.95 = 0.842 \, M\Pi a \leq R_{\phi.c\kappa} / \,\gamma_{n} = 0.84 / \,0.95 = 0.842 \, M\Pi a \leq R_{\phi.c\kappa} / \,\gamma_{n} = 0.84 / \,0.95 = 0.842 \, M\Pi a \leq R_{\phi.c\kappa} / \,\gamma_{n} = 0.84 / \,0.95 = 0.842 \, M\Pi a \leq R_{\phi.c\kappa} / \,\gamma_{n} = 0.84 / \,0.95 = 0.842 \, M\Pi a \leq R_{\phi.c\kappa} / \,\gamma_{n} = 0.84 / \,0.95 = 0.842 \, M\Pi a \leq R_{\phi.c\kappa} / \,\gamma_{n} = 0.84 / \,0.95 = 0.842 \, M\Pi a \leq R_{\phi.c\kappa} / \,\gamma_{n} = 0.84 / \,0.95 = 0.842 \, M\Pi a \leq R_{\phi.c\kappa} / \,\gamma_{n} = 0.84 / \,0.95 = 0.842 \, M\Pi a \leq R_{\phi.c\kappa} / \,\gamma_{n} = 0.84 / \,$$

ГДе, 
$$S_{\phi} = F_{\phi,B}(h - y_0 - t^e/2) = 134.1(5.7 - 1/2) = 697.351 \, cm^3$$

По скалыванию ребер:

$$\tau = \frac{QS_{np}}{I_{np} \sum b_p} = \frac{6.553 \cdot 908.454}{8325.343 \cdot 4 \cdot 4.3} = 0.042 \,\kappa H / \,c\text{m}^2 \, 0.416 \,M\Pi a \leq R_{c\kappa} / \gamma_n = 1.6 / \,0.95 = 1.684 \,M\Pi a$$
 
$$S_{np} = t^s \cdot b_{np} (y - \frac{t^s}{2}) + n_{np,p} \Big[ t_p (y - t^s) \cdot (y - t^s) / 2 \Big] \frac{E_{\partial p}}{E_{\phi}} =$$
 
$$= 1 \cdot 134.1 \cdot (5.7 - \frac{1}{2}) + 4 \cdot [4.3 \cdot (5.7 - 1) \cdot (5.7 - 1) / 2] \cdot 1.111 = 908.454 \,\text{cm}^3$$
 
$$y = h_{n\pi} - y_0 = 12 - 6.3 = 5.7 \,\text{cm}$$

Прогиб плиты определяем по формуле:

$$\frac{f}{l} = \frac{5q^n \cdot l^3}{384 \cdot 0.7E_{\phi}I_{np}} = \frac{5 \cdot 2.484 \cdot 392^3}{384 \cdot 0.7 \cdot 90000 \cdot 8325.343} = \frac{1}{259.226} \le f_{np} = \frac{1}{250 \cdot \gamma_n} = \frac{1}{250 \cdot 0.95} = \frac{1}{237.5}$$

Плита с выбранными размерами соответствует требованиям расчета по двум группам предельных состояний.

### 3. Проектирование несущей конструкции

В качестве несущей конструкции принимаем трехшарнирную стрельчатую арку постоянного сечения, пролетом L=42 м, высота f=21 м, шаг расстановки арок через 4 м, опоры - железобетонные.

Ограждающая часть покрытия состоит из плит покрытий.

Устойчивость арок из плоскости обеспечивается деревянными диагональными элементами, которые расположены в торцах здания и через 16 м вдоль здания, образуя поперечные связевые фермы. Плиты прикреплены к верхним граням арок, а в коньке арок поставлены прогоны с упором в боковые грани арок.

#### 3.1 Определение геометрических параметров арки

Стрелу подъема дуги арки принимаем (Рис. 5):

$$f = \left(\frac{1}{2} - \frac{1}{3}\right)L = \frac{1}{2} \cdot 42 = 21$$
 M

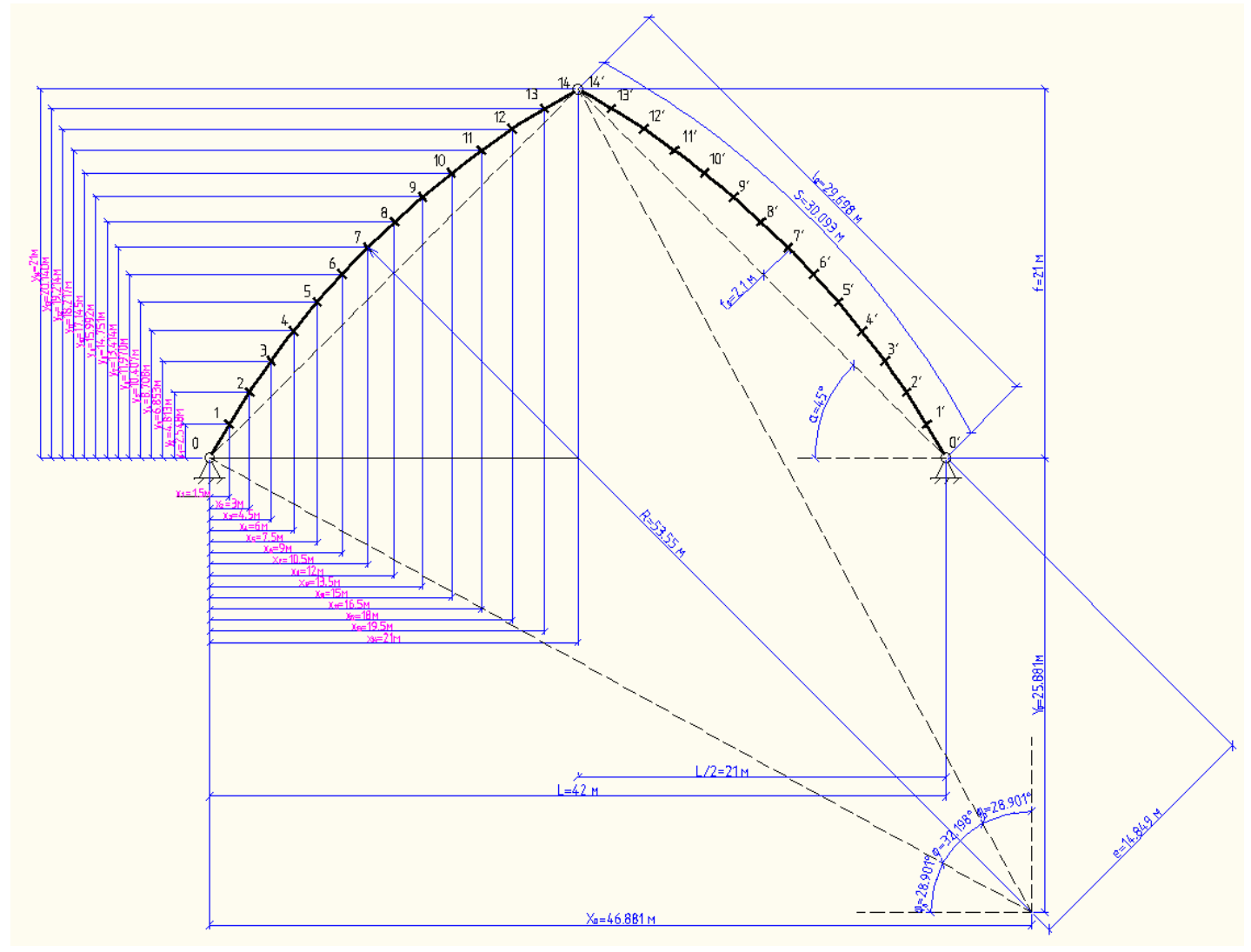


Рис. 5. Геометрическая схема стрельчатой арки.

Длина хорды полуарки:

$$l_0 = \sqrt{f^2 + (0.5l)^2} = f / \sin \alpha = \sqrt{21^2 + (0.5 \cdot 42)^2} = 29.698$$
 M

Стрелу подъема дуги полуарки принимаем:

$$f_0 = \left(\frac{1}{20} - \frac{1}{10}\right)L = \frac{1}{20} \cdot 42 = 2.1 \quad m > \frac{l_0}{15} = \frac{29.698}{15} = 1.98 \quad m$$

Радиус кривизны оси полуарки:

$$R = \frac{{l_0}^2}{8 \cdot f_0} + \frac{f_0}{2} = \frac{29.698^2}{8 \cdot 2.1} + \frac{2.1}{2} = 53.55 \quad M$$

Угол наклона хорды полуарки к горизонту:

$$tg\alpha = \frac{f}{0.5 \cdot L} = \frac{21}{0.5 \cdot 21} = 1 \implies \alpha = 45^{\circ}$$

Угол ф раствора полуарки (центральный угол):

$$\sin\frac{\varphi}{2} = \frac{l_0}{2 \cdot R} = \frac{29.698}{2 \cdot 53.55} = 0.277 \implies \frac{\varphi}{2} = 16.099^{\circ} \quad \varphi = 0.533 = 32.198$$

Угол  $\phi_{_{\scriptscriptstyle 0}}$  наклона радиуса, проходящего через опору арки:

$$\phi_0 = 90^{\circ} - \alpha - \frac{\phi}{2} = 90^{\circ} - 45^{\circ} - 16.099^{\circ} = 28.901^{\circ}$$

Длина дуги полуарки:

$$S = \frac{2\Pi R\phi}{360^{\circ}} = \frac{2 \cdot 3.14 \cdot 53.55 \cdot 32.198}{360} = 30.093 \quad M$$

За начало координат принимаем левую опору, тогда координаты центра кривизны оси полуарки будут равны:

$$X_0 = R \cdot \cos \varphi_0 = 53.55 \cdot \cos 28.901^0 = 46.881$$
 M  
 $Y_0 = R \cdot \sin \varphi_0 = 53.55 \cdot \sin 28.901^0 = 25.881$  M

#### 3.2 Определение координат, расчетных сечений арки

Для определения расчетных усилий в сечениях каждую полуарку делим на 14 равных частей. С увеличением количества частей, точность расчета увеличивается.

Длина дуги и центральный угол, соответствующий одному делению, равны:

$$S_n = \frac{S}{n} = \frac{30.093}{14} = 2.1495$$
  $M = > \varphi_n = \frac{\varphi}{n} = \frac{32.198^0}{14} = 2.2999^0$ 

Углы, между сечениями находим по формуле:

$$\varphi_i = \alpha_i - \alpha_{i-1}$$

Углы, между опорой и сечениями находим по формулам:

$$\phi_{0\text{-}i}\!\!=\!\!\phi_{i\text{-}1}\!\!+\!\!\phi_{i}$$

Координаты расчетных сечений арки определяются по формулам:

$$x_{n} = X_{0} - R \cdot \cos \varphi_{n}$$
$$y_{n} = R \cdot \sin \varphi_{n} - Y_{0}$$

где,  $\phi_{_{\Pi}} = \phi_{_{0}} + n \cdot \phi_{_{1}}$  (п-номер рассматриваемого сечения).

Или, задаваясь значениями координат х для расчетных сечений, определяем их остальные координаты по следующим уравнениям:

Уравнение оси:

$$y_n = \sqrt{R^2 - (X_0 - X_n)} - Y_0$$

Координаты сечений по хорде:

$$z_n = \sqrt{x_n^2 + y_n^2} \cos(\alpha_n - \alpha)$$

Расстояние среднего радиуса оси от правой опоры:

$$e = L\cos\alpha - l_0/2 = 42 \cdot \cos 45^\circ - 29.698/2 = 14.849$$
 M

Все вычисления заносим в таблицу 2.

#### Координаты расчетных сечений арки

Таблица 2

№ сечения	Х, м	Ү, м	Z, м	$\alpha_i,$ °	φ <sub>i</sub> , °	Ф0-і, °
0, 0'	0	0.000	0.000	61.099	0.000	0.000
1, 1'	1.5	2.548	2.956	57.935	3.164	3.164
2, 2'	3	4.813	5.663	55.028	2.907	6.071
3, 3'	4.5	6.853	8.174	52.319	2.709	8.780
4, 4'	6	8.708	10.523	49.766	2.553	11.333
5, 5'	7.5	10.407	12.735	47.341	2.425	13.758
6, 6'	9	11.970	14.829	45.023	2.318	16.076
7, 7'	10.5	13.414	16.818	42.795	2.228	18.304
8, 8'	12	14.751	18.714	40.645	2.150	20.454
9, 9'	13.5	15.992	20.525	38.562	2.083	22.537
10, 10'	15	17.145	22.259	36.537	2.024	24.562
11, 11'	16.5	18.217	23.923	34.564	1.973	26.535
12, 12'	18	19.214	25.520	32.637	1.927	28.462
13, 13′	19.5	20.140	27.056	30.751	1.886	30.348
14, 14′	21	21.000	28.534	28.901	1.850	32.198

Распределение снеговой нагрузки S ограничено по линии пролета арки расстоянием  $l_{ch}$ , начиная от точки  $x_{ch}$  от начала координат, где угол  $\alpha$ =50°:

$$x_{cH} = X_0 - R \cdot \sin \alpha_i = R \cdot \cos \varphi_0 - R \cdot \sin \alpha_i = 46.881 - 53.55 \cdot \sin 50^0 = 5.859 \quad M$$

$$y_{cH} = \sqrt{R^2 - (X_0 - x_{cH})^2} - Y_0 = \sqrt{53.55^2 - (46.881 - 5.859)^2} - 25.881 = 8.541 \quad M$$

Тогда, 
$$l_{ch} = L - 2x_{ch} = 42 - 2 \cdot 5.859 = 30.282$$
 м

Определяем угол вершины арки (в коньковом узле) β, по формуле:

$$\beta = \alpha_0 - \varphi = 61.099^0 - 32.198^0 = 28.901^0$$

Так как  $\beta = 28.901^{\circ} > 15^{\circ}$ , поэтому коэффициент формы покрытия  $\mu$  для снеговой нагрузки определяем по схеме 1, б приложения 3 СНиП 2.01.07-85\* «Нагрузки и воздействия».

## 3.3 Подсчет нагрузок, действующих на арку

На арку действуют: собственный вес арки и покрытия, снеговая и ветровая нагрузки (Рис. 6, 7, 8, 9).

Постоянные равномерно распределенные нагрузки на  $1 \text{ м}^2$  горизонтальной проекции покрытия определяем с введением коэффициента перегрузки п (СНиП II-6-74) и коэффициента  $k=S/(0.5L)=30.093/(0.5\cdot42)=1.433$ , учитывающего разницу между длиной дуги полуарки и ее горизонтальной проекцией. Сбор постоянных нагрузок от веса покрытия, собственного веса арки и временной снеговой приведен в таблице 3.

Нормативные нагрузки на  $1 \text{ м}^2$ :

Постоянная:  $q_{пл}^{H} = q_{пл}^{H}/B_{пл} = 0.555 \text{ кH/м/1.5 м} = 0.37 \text{ кH/м}^2$ .

Ее горизонтальная проекция:  $q_{nn}^{H} = q_{nn}^{H} \cdot k = 0.37 \cdot 1.433 = 0.53 \text{ кH/м}^2$ .

Временная снеговая:  $q_{ch}^{H} = q_{ch}^{H}/B = 1.929/1.5 = 1.286 \text{ кH/м}^2$ .

Ее горизонтальная проекция:  $q_{ch}^{\ \ H} = q_{ch}^{\ \ H} \cdot \mu = 1.286 \cdot 0.587 = 0.755 \text{ кH/m}^2$ ,

где,  $\mu$  – коэффициент, учитывающий форму покрытия принимаемый по СНиП 2.01.07-85\* «Нагрузки и воздействия», приложению 3. А в нашем случае принимается схема 1, б, согласно которой при  $\alpha \le 25^{\circ} - \mu = 1$ , а при  $\alpha \ge 60^{\circ} - \mu = 0$ . Тогда в нашем случае:  $arctg\alpha = (f-y_{cH})/[(L/2)-x_{cH}] = (21-8.541)/[(42/2)-5.859] = 39.451°$  $=> \mu = \mu_{25^{\circ}} - [(\mu_{25^{\circ}} - \mu_{60^{\circ}})/(\alpha_{60^{\circ}} - \alpha_{25^{\circ}})] \cdot (\alpha_{39.451^{\circ}} - \alpha_{25^{\circ}}) = 1 - [(1-0)/(60-25)] \cdot (39.451^{\circ} - 25^{\circ}) = 0.587.$ 

Собственный вес арки в зависимости от нормативного веса покрытия и снега определяем по формуле:

$$q_{c.s.} = \frac{q_{\kappa p}^{H} + q_{cH}}{\frac{1000}{K_{cs} \cdot L} - 1} = \frac{0.53 + 0.755}{\frac{1000}{4 \cdot 42} - 1} = 0.26 \quad \kappa H / M^{2}$$

где,  $k_{c.в.}$  – коэффициент собственного веса, для арок равен  $k_{c.в.}$ =4.

Нормативные нагрузки на 1 м пролета арки:

Постоянная:  $q_{пл}^{H} = q_{пл}^{H} \cdot B = 0.53 \text{ кH/m}^2 \cdot 4 \text{ м} = 2.12 \text{ кH/m};$ 

 $q_{apкu}^{H} = q_{apku}^{H} \cdot B = 0.26 \text{ кH/m}^2 \cdot 4 \text{ м} = 1.038 \text{ кH/m}.$  Временная снеговая:  $q_{ch}^{H} = q_{ch}^{H} \cdot B = 0.755 \text{ кH/m}^2 \cdot 4 \text{ м} = 3.02 \text{ кH/m}.$ 

#### Нагрузки на арку

Таблица 3

Вид нагрузки	Нормативная нагрузка, кН/м	Коэффициент перегрузки, п	Расчетная нагрузка, кН/м
Постоянные: Плиты покрытия Собственный вес арки Итого:	2.122 1.038	1.1 1.1	2.334 1.142 3.476
Временные Снеговая:	3.02	1.4	4.227

Расчетную ветровую нагрузку (Рис. 8), нормальную к поверхности сооружения, определяем по СНиП 2.01.07-85\* «Нагрузки и воздействия»:

$$\mathbf{w}_{_{\mathbf{B}}}^{_{\mathbf{p}}} = \mathbf{B}\mathbf{w}_{_{\mathbf{0}}}\mathbf{k}\mathbf{c}_{_{\mathbf{e}}}\mathbf{n}$$

где, k – коэффициент, учитывающий изменения ветрового давления по высоте (по СНиП 2.01.07-85\* «Нагрузки и воздействия», приложению 3);

с<sub>е</sub> – аэродинамический коэффициент, принимаемый при h≤0.7f с наветренной стороны  $c_{e1}$ =0.7 и  $c_{e3}$ =-0.4 с заветренной, а при h $\ge$ 0.7 $f - c_{e2}$ =-1.2 с наветренной и заветренной стороны (СНиП 2.01.07-85\* «Нагрузки и воздействия», приложению 3);

w<sub>0</sub> – нормативный скоростной напор, принимаемый для II ветрового района равным  $0.30 \text{ кH/m}^2$  (по СНиП 2.01.07-85\* «Нагрузки и воздействия», таблица 5);

B=4 M - шаг арок;

n=1.4 – коэффициент надежности для ветровой нагрузки.

Принимаем тип местности В (по СНиП 2.01.07-85\* «Нагрузки и воздействия», таблица 6), следовательно при высоте здания: до 5 м, k=0. 5; до 10 м, k=0.65; до 20 м, k=0.85; до 40 м, k=1.1. Следовательно, при  $h=0.7f=0.7\cdot 21=14.7$  м  $k=k_{10}+[(k_{20}-1.00)^{-1}]$  $(h_{10})/(h_{20}-h_{10}) \cdot (h_{0.7f}-h_{10}) = 0.65 + [(0.85-0.65)/(20-10)] \cdot (14.7-10) = 0.744$ , a при h=f=21 м  $k=k_{20}+[(k_{40}-k_{20})/(h_{40}-h_{20})]\cdot(h_{f}-h_{20})=0.85+[(1.1-0.85)/(40-20)]\cdot(21-20)=0.8625$ 

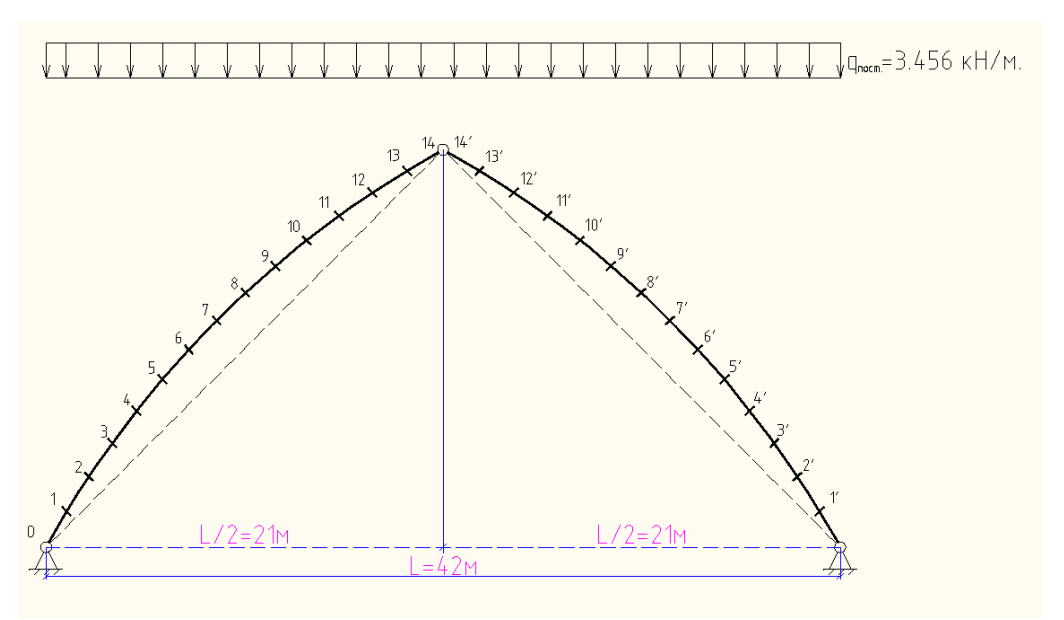


Рис. 6. Схема постоянной нагрузки, действующего на арку.

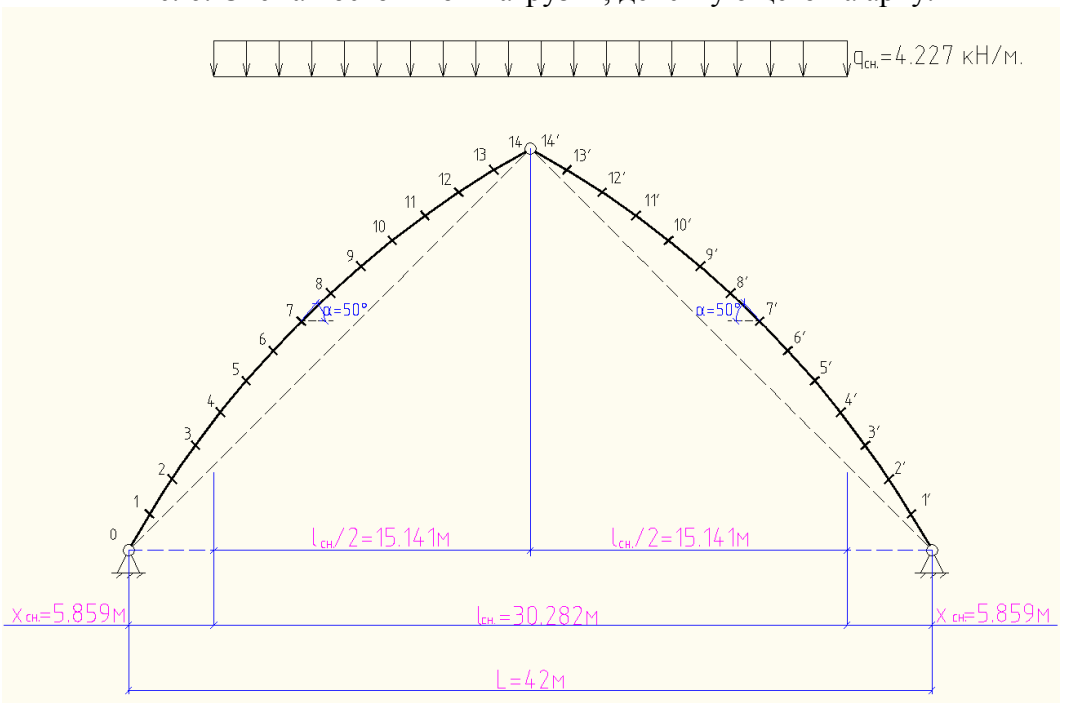


Рис. 7. Схема снеговой нагрузки, действующего на арку.

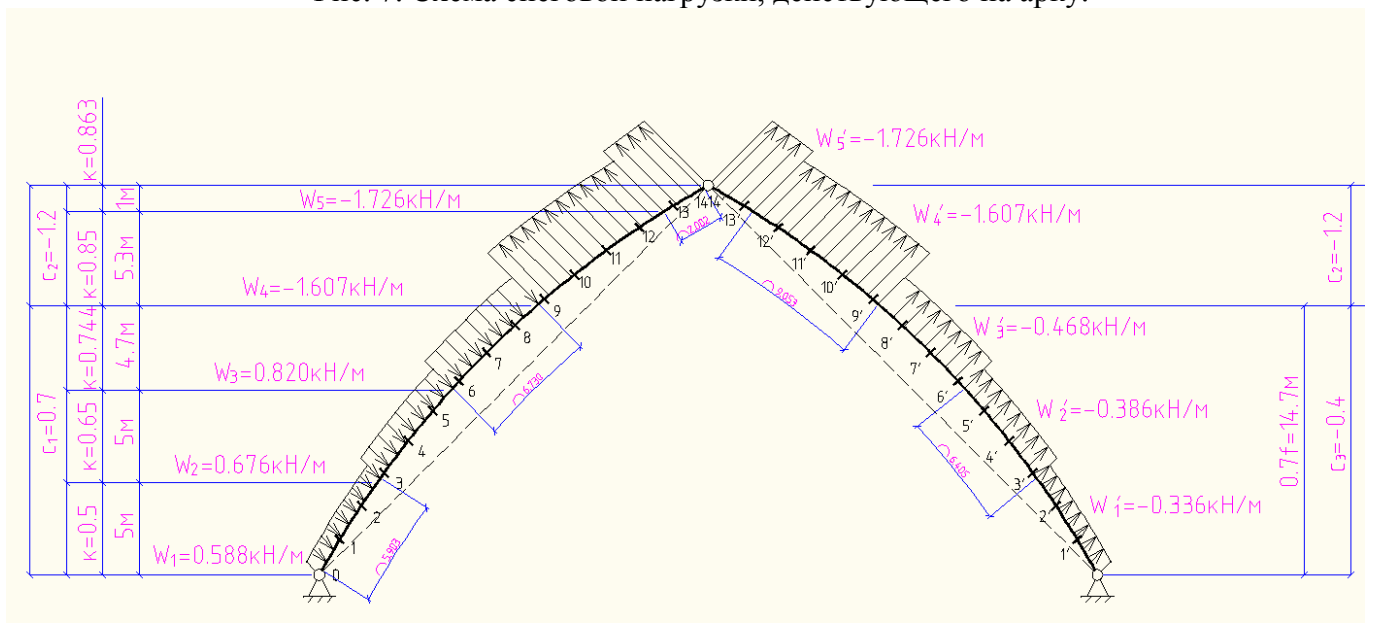


Рис. 8. Схема ветровой нагрузки, действующей на арку.

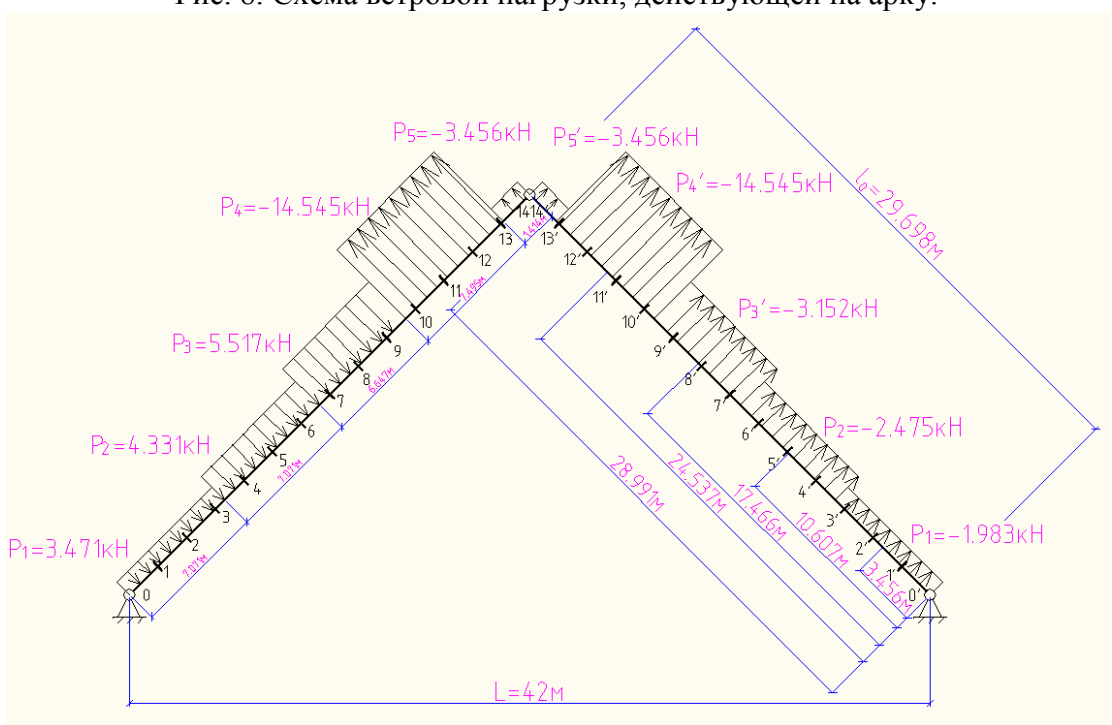


Рис. 9. Схема упрощенной ветровой нагрузки, действующей на арку. Расчетная ветровая нагрузка на 1 м арки по участкам (Рис. 8): С наветренной стороны:

h≤5 M - 
$$w_1$$
 = 4 · 0.3 · 0.7 · 0.5 · 1.4 = 0.588  $\kappa H/M$   
h=10 M -  $w_2$  = 4 · 0.3 · 0.7 · 0.65 · 1.4 = 0.764  $\kappa H/M$   
h≤14.7 M -  $w_3$  = 4 · 0.3 · 0.7 · 0.744 · 1.4 = 0.875  $\kappa H/M$   
h≥14.7 M -  $w_4$  = 4 · 0.3 · (-1.2) · 0.744 · 1.4 = -1.5  $\kappa H/M$   
h=20 M -  $w_4$  = 4 · 0.3 · (-1.2) · 0.85 · 1.4 = -1.714  $\kappa H/M$   
h=21 M -  $w_5$  = 4 · 0.3 · (-1.2) · 0.8625 · 1.4 = -1.739  $\kappa H/M$ 

С заветренной стороны:

h≤5 M - 
$$w_1 = 4 \cdot 0.3 \cdot (-0.4) \cdot 0.5 \cdot 1.4 = -0.336 \ \kappa H/M$$
  
h=10 M -  $w_2 = 4 \cdot 0.3 \cdot (-0.4) \cdot 0.65 \cdot 1.4 = -0.437 \ \kappa H/M$   
h≤14.7 M -  $w_3 = 4 \cdot 0.3 \cdot (-0.4) \cdot 0.744 \cdot 1.4 = -0.5 \ \kappa H/M$   
h≥14.7 M -  $w_4 = 4 \cdot 0.3 \cdot (-1.2) \cdot 0.744 \cdot 1.4 = -1.5 \ \kappa H/M$   
h=20 M -  $w_4 = 4 \cdot 0.3 \cdot (-1.2) \cdot 0.85 \cdot 1.4 = -1.714 \ \kappa H/M$   
h=21 M -  $w_5 = 4 \cdot 0.3 \cdot (-1.2) \cdot 0.8625 \cdot 1.4 = -1.739 \ \kappa H/M$ 

Найдем усредненные значения ветровых нагрузок на участках (Рис. 8): С наветренной стороны:

$$0 \leq h \leq 5 \text{ M} - w_{1cp} = w_1 = 0.588 \text{ } \kappa H/M$$

$$5 \leq h \leq 10 \text{ M} - w_{2cp} = (w_1 + w_2)/2 = (0.588 + 0.764)/2 = 0.676 \text{ } \kappa H/M$$

$$10 \leq h \leq 14.7 \text{ M} - w_{3cp} = (w_2 + w_3)/2 = (0.764 + 0.875)/2 = 0.82 \text{ } \kappa H/M$$

$$14.7 \leq h \leq 20 \text{ M} - w_{4cp} = (w_3 + w_4)/2 = (-1.5 - 1.714)/2 = -1.607 \text{ } \kappa H/M$$

$$20 \leq h \leq 21 \text{ M} - w_{5cp} = (w_4 + w_5)/2 = (-1.714 - 1.739)/2 = -1.726 \text{ } \kappa H/M$$

С заветренной стороны:

$$0 \le h \le 5 \text{ M} - w_{1cp} = w_1 = -0.336 \text{ } \kappa H/M$$

$$5 \le h \le 10 \text{ M} - w_{2cp} = (w_1 + w_2)/2 = (-0.336 - 0.437)/2 = -0.386 \text{ } \kappa H/M$$

$$10 \le h \le 14.7 \text{ M} - w_{3cp} = (w_2 + w_3)/2 = (-0.437 - 0.5)/2 = -0.468 \text{ } \kappa H/M$$

$$14.7 \le h \le 20 \text{ M} - w_{4cp} = (w_3 + w_4)/2 = (-1.5 - 1.714)/2 = -1.607 \text{ } \kappa H/M$$

$$20 \le h \le 21 \text{ M} - w_{5cp} = (w_4 + w_5)/2 = (-1.714 - 1.739)/2 = -1.726 \text{ } \kappa H/M$$

Находим длины дуг участков, на которых приложены ветровые усилия (Рис. 8): <u>Геометрические величины для определения ветровой нагрузки</u>

Таблица 4

					т и оли ди
Участок хорды	y <sub>n</sub> , M	$\sin(90^{\circ}-\phi_{n})=(y_{n}+Y_{0})/R$	$\alpha_n=90^{\circ}-\phi_n$	$\alpha = \alpha_{n-1} - \alpha_n$	S <sub>n</sub> =(2ΠR/360°)·α, м
0	0	0.483	28.901°	0°	0
U	U	0.483	28.901	3.316°	5.903
0	_	0.577	22.217°	3.310	3.903
0-a	5	0.577	32.217°		. 10.7
			_	6.854°	6.405
0-b	10	0.670	42.07°		
				7.201°	6.730
0-c	14.7	0.758	49.271°		
				9.686°	9.053
0-d	20	0.857	58.957°		
				2.142°	2.002
0-14	21	0.875	61.099°		
				•	$\Sigma S_n = S = 30.093$

Находим равнодействующую ветровых давлений на участках (Рис. 9): С наветренной стороны:

$$\begin{split} 0 \leq & \mathbf{S} \leq \mathbf{a} - P_{1cp} = w_{1cp} \cdot S_1 = 0.588 \cdot 5.903 = 3.471 \ \kappa H \\ \mathbf{a} \leq & \mathbf{h} \leq \mathbf{b} - P_{2cp} = w_{2cp} \cdot S_2 = 0.676 \cdot 6.405 = 4.331 \ \kappa H \\ \mathbf{b} \leq & \mathbf{h} \leq \mathbf{c} - P_{3cp} = w_{3cp} \cdot S_3 = 0.82 \cdot 6.73 = 5.517 \ \kappa H \\ \mathbf{c} \leq & \mathbf{h} \leq \mathbf{d} - P_{4cp} = w_{4cp} \cdot S_4 = -1.607 \cdot 9.053 = -14.545 \ \kappa H \\ \mathbf{d} \leq & \mathbf{h} \leq 14 - P_{5cp} = w_{5cp} \cdot S_5 = -1.726 \cdot 2.002 = -3.456 \ \kappa H \end{split}$$

С заветренной стороны:

$$0 \le S \le a - P_{1cp} = w_{1cp} \cdot S_1 = -0.336 \cdot 5.903 = -1.983 \ \kappa H$$

$$a \le h \le b - P_{2cp} = w_{2cp} \cdot S_2 = -0.386 \cdot 6.405 = -2.475 \ \kappa H$$

$$b \le h \le c - P_{3cp} = w_{3cp} \cdot S_3 = -0.468 \cdot 6.73 = -3.152 \ \kappa H$$

$$c \le h \le d - P_{4cp} = w_{4cp} \cdot S_4 = -1.607 \cdot 9.053 = -14.545 \ \kappa H$$

$$d \le h \le 14 - P_{5cp} = w_{5cp} \cdot S_5 = -1.726 \cdot 2.002 = -3.456 \ \kappa H$$

Для облегчения расчетов заменяем криволинейную форму арки (дугу) прямолинейной (хордой), и все нагрузки и расчетные сечения переводим на хорду (Рис. 9). При таком приближении значения усилий не будут значительно отличаться от истинных.

Находим длины участков ветровых нагрузок на хорде (Рис. 9) по формулам:

$$S_1=y_a/\sin\alpha=5/\sin45^\circ=7.071~\text{M}$$
  $S_2=(y_b-y_a)/\sin\alpha=(10-5)/\sin45^\circ=7.071~\text{M}$   $S_3=(y_c-y_b)/\sin\alpha=(14.7-10)/\sin45^\circ=6.647~\text{M}$   $S_4=(y_d-y_c)/\sin\alpha=(20-14.7)/\sin45^\circ=7.495~\text{M}$   $S_5=(y_{18}-y_d)/\sin\alpha=(21-20)/\sin45^\circ=1.414~\text{M}$ 

Расстояния от опор до равнодействующих ветровых нагрузок (плечи) (Рис. 9):

$$\begin{split} l_{P1} = & l_{0}\text{-}(S_{1}/2)\text{-}S_{2}\text{-}S_{3}\text{-}S_{4}\text{-}S_{5} = 29.698\text{-}(7.071/2)\text{-}7.071\text{-}6.647\text{-}7.495\text{-}1.414 = 3.536 \text{ M}} \\ l_{P2} = & l_{0}\text{-}(S_{2}/2)\text{-}S_{3}\text{-}S_{4}\text{-}S_{5} = 29.698\text{-}(7.071/2)\text{-}6.647\text{-}7.495\text{-}1.414 = 10.607 \text{ M}} \\ l_{P3} = & l_{0}\text{-}(S_{3}/2)\text{-}S_{4}\text{-}S_{5} = 29.698\text{-}(6.647/2)\text{-}7.495\text{-}1.414 = 17.466 \text{ M}} \\ l_{P4} = & l_{0}\text{-}(S_{4}/2)\text{-}S_{5} = 29.698\text{-}(7.495/2)\text{-}1.414 = 24.537 \text{ M}} \\ l_{P5} = & l_{0}\text{-}(S_{5}/2) = 29.698\text{-}(1.414/2) = 28.991 \text{ M}} \end{split}$$

Расстояния от замкового шарнира до равнодействующих ветровых нагрузок:

$$\begin{split} \mathbf{l'_{P1}} &= \mathbf{l_{0}} - \mathbf{l_{P1}} = 29.698 - 3.536 = 26.163 \text{ M} \\ \mathbf{l'_{P2}} &= \mathbf{l_{0}} - \mathbf{l_{P2}} = 29.698 - 10.607 = 19.092 \text{ M} \\ \mathbf{l'_{P3}} &= \mathbf{l_{0}} - \mathbf{l_{P3}} = 29.698 - 17.466 = 12.233 \text{ M} \\ \mathbf{l'_{P4}} &= \mathbf{l_{0}} - \mathbf{l_{P4}} = 29.698 - 24.537 = 5.162 \text{M} \\ \mathbf{l'_{P5}} &= \mathbf{l_{0}} - \mathbf{l_{P5}} = 29.698 - 28.991 = 0.707 \text{ M} \end{split}$$

Находим координаты расчетных сечений арки на хорде по формулам:

$$x_{i} = X_{0} - R \cdot \cos(90 - \alpha)$$
$$y_{i} = R \cdot \sin(90 - \alpha) - Y_{0}$$

Длины участков:

$$l_i=(y_i-y_{i-1})/\sin\alpha$$

Расстояния от опоры до сечений по хорде определяем по формуле:

$$l_{0-i}=l_i-l_{0-i-1}$$

Расстояния от замкового шарнира до сечений по хорде определяем по формуле:

$$l_{18-i}=l_0-l_{0-i}$$

Все вычисления заносим в таблицу 5.

#### Координаты расчетных сечений арки по хорде

Таблица 5

						т иолици з
№ сечений	X <sub>i</sub> , M	y <sub>i</sub> , M	$lpha_i,{}^\circ$	l <sub>i</sub> , M	l <sub>0-i</sub> , м	l <sub>14-i</sub> , м
0, 0'	0	0.000	45.000	0	0	29.698
1, 1'	1.5	2.548	45.000	2.121	2.121	27.577
2, 2'	3	4.813	45.000	2.121	4.243	25.456
3, 3'	4.5	6.853	45.000	2.121	6.364	23.335
4, 4'	6	8.708	45.000	2.121	8.485	21.213
5, 5'	7.5	10.407	45.000	2.121	10.607	19.092
6, 6'	9	11.970	45.000	2.121	12.728	16.971
7, 7'	10.5	13.414	45.000	2.121	14.849	14.849
8, 8'	12	14.751	45.000	2.121	16.971	12.728
9, 9'	13.5	15.992	45.000	2.121	19.092	10.607
10, 10'	15	17.145	45.000	2.121	21.213	8.485
11, 11'	16.5	18.217	45.000	2.121	23.335	6.364
12, 12'	18	19.214	45.000	2.121	25.456	4.243
13, 13′	19.5	20.140	45.000	2.121	27.577	2.121
14, 14'	21	21.000	45.000	2.121	29.698	0.000

#### 4. Статический расчет арки

#### 4.1 Определение усилий от действия постоянной нагрузки

Опорные реакции от постоянной нагрузки равномерно распределенной на всем пролете  $q_{\text{пост}}$ =3.476 кH/м (Рис. 10):

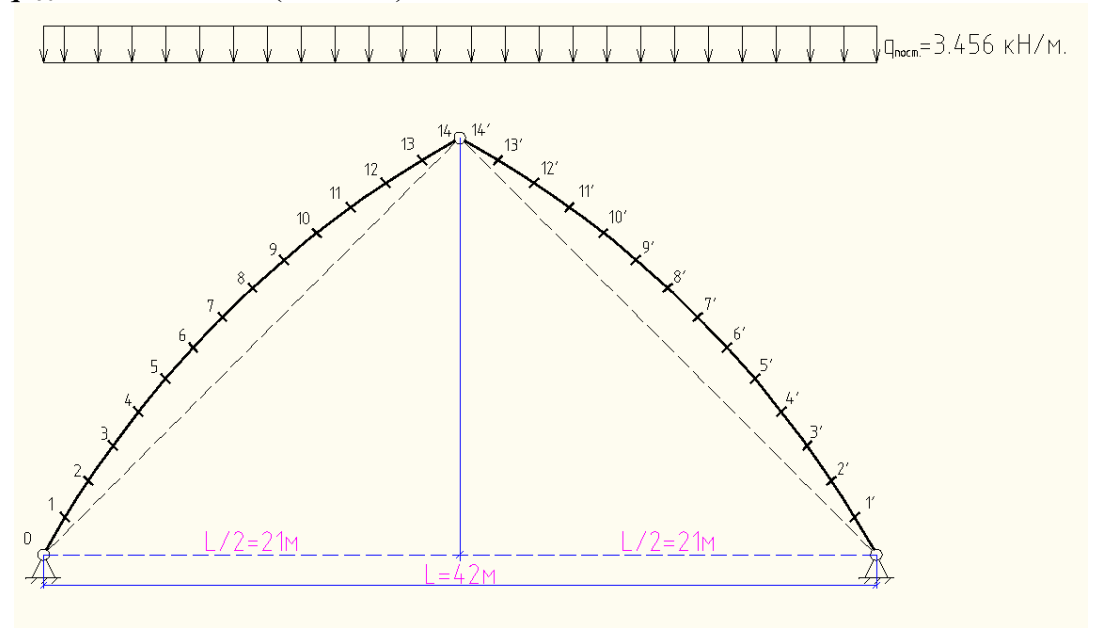


Рис. 10. Схема распределения постоянной нагрузки на арке и реакции от нее.

$$V_A = V_B = \frac{q_{nocm} \cdot L}{2} = \frac{3.476 \cdot 42}{2} = 72.996 \ \kappa H$$

$$H_A = H_B = \frac{q_{nocm} \cdot L^2}{8 \cdot f} = \frac{3.476 \cdot 42^2}{8 \cdot 21} = 36.498 \ \kappa H$$

Изгибающие моменты от постоянной нагрузки находим по формулам:

$$M_{i} = V_{A} \cdot x_{i} - \frac{q_{nocm} \cdot x_{i}^{2}}{2} - H_{A} \cdot y_{i}$$

$$M_{i} = V_{B} \cdot x_{i} - \frac{q_{nocm} \cdot x_{i}^{2}}{2} - H_{B} \cdot y_{i}$$

Поперечные силы определяем по формулам:

$$Q_{i} = (V_{A} - q_{nocm} \cdot x_{i}) \cdot \cos \alpha_{i} - H_{A} \cdot \sin \alpha_{i}$$

$$Q_{i} = (V_{B} - q_{nocm} \cdot x_{i}) \cdot \cos \alpha_{i} - H_{B} \cdot \sin \alpha_{i}$$

Продольные силы определяются по формулам:

$$\begin{aligned} N_{i} &= -(V_{A} - q_{nocm} \cdot x_{i}) \cdot \sin \alpha_{i} + H_{A} \cdot \cos \alpha_{i} \\ N_{i}^{'} &= -(V_{B} - q_{nocm} \cdot x_{i}) \cdot \sin \alpha_{i} + H_{B} \cdot \cos \alpha_{i} \end{aligned}$$

Результаты вычислений заносим в таблицу 6.

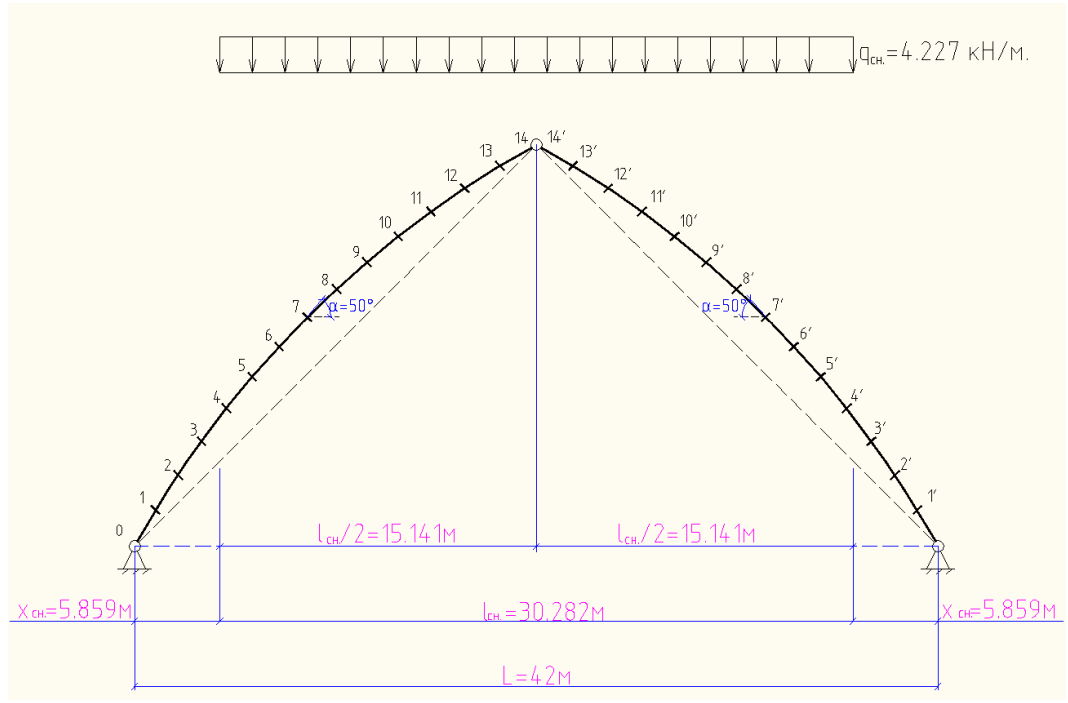
#### Усилия от действия постоянной нагрузки

Таблица 6

			т ислици с
№ сечения	М, кН∙м	Q, ĸH	N, кH
0, 0'	0.000	3.327	-81.548
1, 1'	12.580	5.055	-76.821
2, 2'	27.687	5.955	-72.194
3, 3'	43.173	7.196	-66.098
4, 4'	57.586	5.815	-63.382
5, 5'	69.889	4.958	-59.245
6, 6'	79.315	3.665	-55.307
7, 7'	85.272	1.986	-51.580
8, 8'	87.297	-0.036	-48.073
9,9'	85.016	-2.366	-44.792
10, 10′	78.127	-4.972	-41.744
11, 11'	66.376	-7.826	-38.932
12, 12'	49.552	-10.903	-36.361
13, 13'	27.478	-14.182	-34.034
14, 14'	0.000	-17.640	-31.954

#### 4.2 Определение усилий от действия снеговой нагрузки

Снеговая нагрузки  $q_{ch}$ =4.227 кH/м равномерно распределена в середине пролета на длине  $l_{ch}$ =30.282 м (Рис. 11):



**Рис. 11.** Схема распределения снеговой нагрузки на арке и реакции от нее. Опорные реакции (Рис. 11):

$$\begin{split} V_{A} = V_{B} &= \frac{q_{nocm} \cdot l_{ch}}{2} = \frac{4.227 \cdot 30.282}{2} = 64.006 \ \kappa H \\ H_{A} = &\left(V_{A} \cdot \frac{L}{2} - \frac{q_{ch} \cdot (l_{ch}/2)^{2}}{2}\right) / f = \left(64.006 \cdot \frac{42}{2} - \frac{4.227 \cdot (30.282/2)^{2}}{2}\right) / 21 = 40.932 \ \kappa H \\ H_{B} = &\left(V_{B} \cdot \frac{L}{2} - \frac{q_{ch} \cdot (l_{ch}/2)^{2}}{2}\right) / f = \left(64.006 \cdot \frac{42}{2} - \frac{4.227 \cdot (30.282/2)^{2}}{2}\right) / 21 = 40.932 \ \kappa H \end{split}$$

Изгибающие моменты от снеговой нагрузки находим по следующим формулам:

При 
$$i=0-3$$
:  $M_i=V_A\cdot x_i-H_A\cdot y_i$   
При  $i=0'-3'$ :  $M'_i=V_B\cdot x_i-H_B\cdot y_i$   
При  $i=4-14$ :  $M_i=V_A\cdot x_i-H_A\cdot y_i-q_{\text{ch}}\cdot (x_i-x_{\text{ch}})\cdot (x_i-x_{\text{ch}})/2$   
При  $i=4'-14'$ :  $M'_i=V_B\cdot x_i-H_B\cdot y_i-q_{\text{ch}}\cdot (x_i-x_{\text{ch}})\cdot (x_i-x_{\text{ch}})/2$ 

Поперечные силы определяем по формулам:

При i=0-3: 
$$Q_i$$
= $V_A$ · $cosα_i$ - $H_A$ · $sinα_i$   
При i=0'-3':  $Q'_i$ = $V_B$ · $cosα_i$ - $H_B$ · $sinα_i$   
При i=4-14:  $Q_i$ =[ $V_A$ - $q_{cH}$ · $(x_i$ - $x_{cH})$ ]· $cosα_i$ - $H_A$ · $sinα_i$   
При i=4'-14':  $Q'_i$ =[ $V_B$ - $q_{cH}$ · $(x_i$ - $x_{cH})$ ]· $cosα_i$ - $H_B$ · $sinα_i$ 

Продольные силы определяем по формулам:

При i=0-3: 
$$N_i$$
=- $V_A$ · $\sin \alpha_i$ + $H_A$ · $\cos \alpha_i$   
При i=0'-3':  $N'_i$ =- $V_B$ · $\sin \alpha_i$ + $H_B$ · $\cos \alpha_i$   
При i=4-14:  $N_i$ =-[ $V_A$ - $q_{cH}$ ·( $x_i$ - $x_{cH}$ )]· $\sin \alpha_i$ + $H_A$ · $\cos \alpha_i$   
При i=4'-14':  $N'_i$ =-[ $V_B$ - $q_{cH}$ ·( $x_i$ - $x_{cH}$ )]· $\sin \alpha_i$ + $H_B$ · $\cos \alpha_i$ 

Все вычисленные значения заносим в таблицу 7.

# Усилия от действия снеговой нагрузки

Таблина	7
т аолица	

№ сечения	М, кН∙м	Q, кH	N, ĸH
0, 0'	0.000	-4.900	-75.817
1, 1'	-8.294	-0.708	-75.972
2, 2'	-4.981	3.146	-75.910
3, 3'	7.526	7.877	-73.883
4, 4'	27.559	9.709	-74.846
5, 5'	48.390	8.571	-69.705
6, 6'	65.253	6.901	-64.816
7, 7'	77.487	4.762	-60.191
8, 8'	84.570	2.206	-55.839
9, 9'	86.085	-0.724	-51.770
10, 10'	81.690	-3.989	-47.988
11, 11'	71.104	-7.557	-44.499
12, 12'	54.088	-11.396	-41.308
13, 13'	30.444	-15.479	-38.419
14, 14'	0.000	-19.782	-35.834

#### 4.3 Определение усилий от действия ветровой нагрузки

Опорные реакции определяем исходя из равенства нулю моментов в шарнирных узлах (Рис. 12):

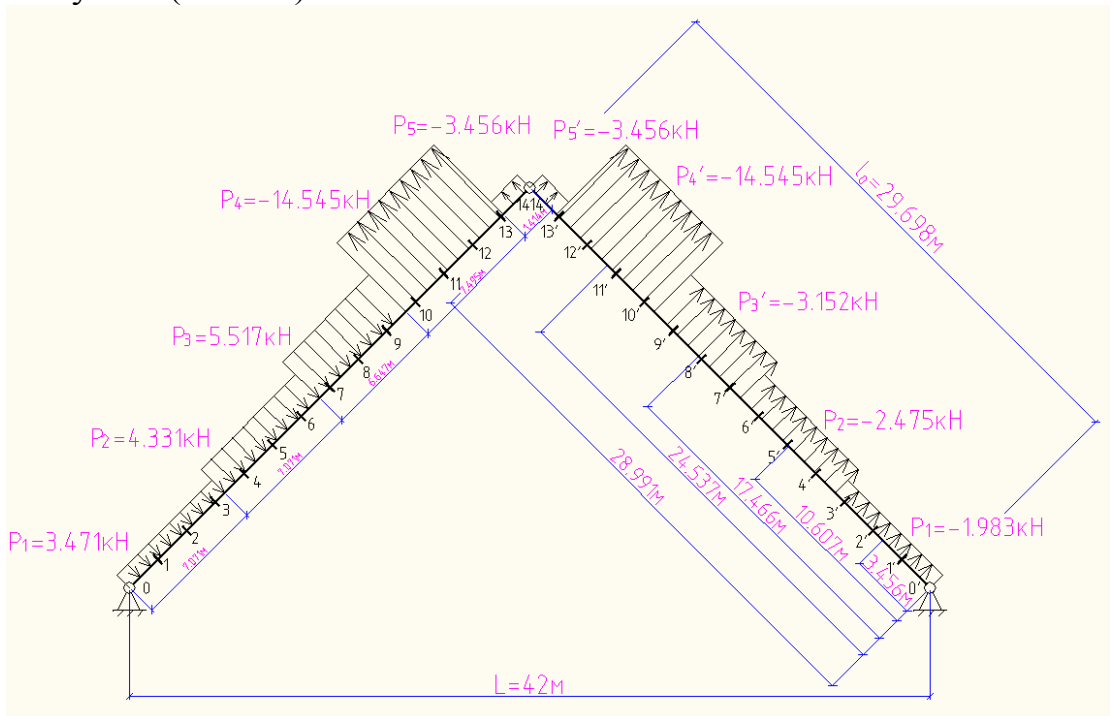


Рис. 12. Схема распределения ветровой нагрузки на арке и реакции от нее.  $\Sigma M_B{=}0 =>$ 

$$\begin{split} V_{A} &= (-P_{1cp} \cdot l_{P1}^{'} - P_{2cp} \cdot l_{P2}^{'} - P_{3cp} \cdot l_{P3}^{'} + P_{4cp} \cdot l_{P4}^{'} + P_{5cp} \cdot l_{P5}^{'} + \\ &+ P_{5cp}^{'} \cdot l_{P5} + P_{4cp}^{'} \cdot l_{P4} + P_{3cp}^{'} \cdot l_{P3} + P_{2cp}^{'} \cdot l_{P2} + P_{1cp}^{'} \cdot l_{P1}) / L = \\ &= (-3.471 \cdot 26.163 - 4.331 \cdot 19.092 - 5.517 \cdot 12.233 + 14.545 \cdot 5.162 + 3.456 \cdot 0.707 + \\ &+ 1.983 \cdot 3.536 + 2.475 \cdot 10.607 + 3.152 \cdot 17.466 + 14.545 \cdot 24.537 + 3.456 \cdot 28.991) / 42 = \\ &= 9.094 \ \kappa H \end{split}$$

$$\begin{split} \Sigma M_{\delta} &= 0 \Rightarrow \\ V_{\delta} &= (-P_{log} \cdot l_{P_1} - P_{2og} \cdot l_{P_2} - P_{3og} \cdot l_{P_2} + P_{log} \cdot l_{P_1} + P_{3og} \cdot l_{P_3} + \\ &+ P_{3og} \cdot l_{P_3} + P_{4og} \cdot l_{P_1} + P_{3og} \cdot l_{P_2} + P_{4og} \cdot l_{P_1} + P_{3og} \cdot l_{P_3} + \\ &+ P_{3og} \cdot l_{P_3} + P_{4og} \cdot l_{P_1} + P_{3og} \cdot l_{P_3} + P_{4og} \cdot l_{P_1} + P_{3og} \cdot l_{P_3} + \\ &+ (-3.471 \cdot 3.536 - 4.331 \cdot 10.607 - 5.517 \cdot 17.466 - (14.545 \cdot 24.537 + 3.456 \cdot 28.991 + \\ &+ (-9.83 \cdot 26.163 + 2.475 \cdot 19.092 + 3.152 \cdot 12.233 + 14.545 \cdot 5.162 + 3.456 \cdot 0.707) / 42 = \\ &= (2.327 \, \kappa H) \end{split}$$
 
$$\Sigma M_{CJI} = 0 \Rightarrow \\ H_{A} &= \left( V_{A} \cdot \frac{L}{2} + P_{log} \cdot l_{P_1} + P_{2og} \cdot l_{P_2} + P_{3og} \cdot l_{P_3} - P_{4og} \cdot l_{P_4} - P_{5og} \cdot l_{P_5} \right) / f = \\ &= (9.094 \cdot \frac{42}{2} + 3.471 \cdot 26.163 + 4.331 \cdot 19.092 + \\ &+ 5.517 \cdot 12.233 - 14.545 \cdot 5.162 - 3.456 \cdot 0.707) / 21 = 16.877 \, \kappa H \end{split}$$
 
$$\Sigma M_{CJIP} = 0 \Rightarrow \\ H_{B} &= \left( V_{B} \cdot \frac{L}{2} - P_{5og} \cdot l_{P_1} - P_{4og} \cdot l_{P_2} - P_{5og} \cdot l_{P_3} - P_{4og} \cdot l_{P_4} - P_{1og} \cdot l_{P_5} \right) / f = \\ &= (12.327 \cdot \frac{42}{2} - 1.983 \cdot 26.163 - 2.475 \cdot 19.092 - \\ &- 3.152 \cdot 12.233 - 14.545 \cdot 5.162 - 3.456 \cdot 0.707) / 21 = 2.078 \, \kappa H \end{split}$$
 
$$\Sigma X = 0 \Rightarrow \\ -H_{A} + H_{B} + (P_{1op} + P_{1op}) \cdot \cos \alpha + (P_{2op} + P_{2op}) \cdot \cos \alpha + (P_{3op} + P_{3op}) \cdot \cos \alpha + (P_{4op} + P_{4op}) \cdot \cos \alpha + (P_{5op} + P_{3op}) \cdot \cos \alpha + (P_{4op} + P_{4op}) \cdot \cos \alpha + (P_{5op} + P_{3op}) \cdot \cos \alpha + (P_{4op} + P_{4op}) \cdot \sin \alpha + (P_{5op} + P_{3op}) \cdot (P_{5op} + P_{3op}) \cdot \sin \alpha + (P_{5op} + P_{3op}) \cdot ($$

При i=0, 1:  $Q_i=V_A \cdot \cos\alpha_i-H_A \cdot \sin\alpha_i$ 

При  $i=0', 1': Q'_{i}=V_{B}\cdot cos\alpha_{i}-H_{B}\cdot sin\alpha_{i}$ При  $i=2-4: Q_{i}=V_{A}\cdot cos\alpha_{i}-H_{A}\cdot sin\alpha_{i}+P_{1cp}$ При  $i=2'-4': Q'_{i}=V_{B}\cdot cos\alpha_{i}-H_{B}\cdot sin\alpha_{i}+P_{1cp}+P_{2cp}$ При  $i=5-8: Q_{i}=V_{A}\cdot cos\alpha_{i}-H_{A}\cdot sin\alpha_{i}+P_{1cp}+P_{2cp}$ При  $i=5'-8': Q'_{i}=V_{B}\cdot cos\alpha_{i}-H_{B}\cdot sin\alpha_{i}-P'_{1cp}-P'_{2cp}$ При  $i=9-11: Q_{i}=V_{A}\cdot cos\alpha_{i}-H_{A}\cdot sin\alpha_{i}+P_{1cp}+P_{2cp}+P_{3cp}$ При  $i=9'-11': Q'_{i}=V_{B}\cdot cos\alpha_{i}-H_{B}\cdot sin\alpha_{i}-P'_{1cp}-P'_{2cp}-P'_{3cp}$ При  $i=12-13: Q_{i}=V_{A}\cdot cos\alpha_{i}-H_{A}\cdot sin\alpha_{i}+P_{1cp}+P_{2cp}+P_{3cp}+P_{4cp}$ При  $i=12'-13': Q'_{i}=V_{B}\cdot cos\alpha_{i}-H_{B}\cdot sin\alpha_{i}-P'_{1cp}-P'_{2cp}-P'_{3cp}-P'_{4cp}$ При  $i=14: Q_{i}=V_{A}\cdot cos\alpha_{i}-H_{A}\cdot sin\alpha_{i}+P_{1cp}+P_{2cp}+P_{3cp}+P_{4cp}-P_{5cp}$ При  $i=14: Q'_{i}=V_{B}\cdot cos\alpha_{i}-H_{B}\cdot sin\alpha_{i}-P'_{1cp}-P'_{2cp}-P'_{3cp}-P'_{4cp}-P'_{5cp}$ 

Продольные силы определяем по формулам:

При 
$$i=0-14$$
:  $N_i=V_A\cdot\sin\alpha_i+H_A\cdot\cos\alpha_i$   
При  $i=0'-14'$ :  $N'_i=V_B\cdot\sin\alpha_i+H_B\cdot\cos\alpha_i$ 

Активные ветровые нагрузки на продольные усилия не влияют, так как они приложены перпендикулярно к поверхности арки.

Все вычисленные значения заносим в таблицу 8 и 9.

# <u>Усилия возникающие в расчетных сечениях арки от действия ветровой</u> нагрузки слева

Таблица 8

			,
№ сечения	М, кН∙м	Q, кН	N, кH
0	0	-5.504	18.364
1	11.676	-5.504	18.364
2	20.898	-2.033	18.364
3	25.211	-2.033	18.364
4	29.524	-2.033	18.364
5	33.837	2.298	18.364
6	28.962	2.298	18.364
7	24.087	2.298	18.364
8	19.212	2.298	18.364
9	5.365	7.815	18.364
10	-11.213	7.815	18.364
11	-27.790	7.815	18.364
12	-30.998	-6.730	18.364
13	-16.721	-6.730	18.364
14	0.000	-10.186	18.364

# <u>Усилия возникающие в расчетных сечениях арки от действия ветровой</u> нагрузки справа

Таблица 9

№ сечения	М, кН·м	Q, кH	N, кH
0′	0	7.247	10.186
1′	-15.374	7.247	10.186
2'	-29.345	5.264	10.186
3′	-40.511	5.264	10.186
4′	-51.677	5.264	10.186
5′	-62.844	2.789	10.186
6′	-68.760	2.789	10.186
7′	-74.676	2.789	10.186
8'	-80.592	2.789	10.186
9′	-81.381	-0.364	10.186
10′	-80.609	-0.364	10.186
11′	-79.838	-0.364	10.186
12′	-65.696	-14.909	10.186
13′	-34.070	-14.909	10.186
14′	0.000	-18.364	10.186

## 4.4 Определение сочетаний усилий

Сочетание усилий представляем в табличной форме (табл. 10, 11, 12, 13). <u>Расчетные сочетания усилий при  $+M_{max}$ </u>

Таблица 10

-				Таолица то
<u>№</u> сечения	Расчетные с	Схема принятого сочетания нагрузок (№ таблиц) и		
	М, кН∙м	Q, кH	N, ĸH	коэффициент их сочетания
0	0.000	-6.037	-133.255	2+(3+4)*0.9
1	24.255	-0.449	-58.457	2+4
2	48.585	3.922	-53.829	2+4
3	72.637	12.456	-116.065	2+(3+4)*0.9
4	108.961	12.724	-114.215	2+(3+4)*0.9
5	143.894	14.740	-105.451	2+(3+4)*0.9
6	164.109	11.944	-97.113	2+(3+4)*0.9
7	176.688	8.341	-89.224	2+(3+4)*0.9
8	<u>180.701</u>	4.018	-81.801	2+(3+4)*0.9
9	167.321	4.016	-74.857	2+(3+4)*0.9
10	159.817	-8.961	-89.731	2+3
11	137.479	-15.383	-83.431	2+3
12	103.641	-22.299	-77.669	2+3
13	57.922	-29.661	-72.453	2+3
14	0.000	<u>-44.612</u>	-47.677	2+(3+4)*0.9

# Расчетные сочетания усилий при $+Q_{max}$

Таблица 11

				тиолици тт
№	Расчетные сочетания усилий при +Q <sub>max</sub>			Схема принятого сочетания нагрузок (№ таблиц) и
сечения	М, кН∙м	Q, кH	N, кН	коэффициент их сочетания
0	0.000	10.574	-71.362	2+5
1	-2.794	12.302	-66.636	2+5
2	-3.206	13.524	<u>-131.345</u>	2+(3+5)*0.9
3	13.487	19.023	-123.426	2+(3+5)*0.9
4	35.879	19.291	-121.576	2+(3+5)*0.9
5	56.881	15.182	-112.812	2+(3+5)*0.9
6	76.159	12.386	-104.474	2+(3+5)*0.9
7	87.802	8.782	-96.585	2+(3+5)*0.9
8	<u>90.877</u>	4.459	-89.161	2+(3+5)*0.9
9	89.250	-3.345	-82.218	2+(3+5)*0.9
10	79.100	-8.890	-75.765	2+(3+5)*0.9
11	58.515	-14.954	-69.814	2+(3+5)*0.9
12	39.106	-34.577	-64.371	2+(3+5)*0.9
13	24.215	-41.531	-59.444	2+(3+5)*0.9
14	0.000	<u>-51.972</u>	-55.037	2+(3+5)*0.9

# $\underline{P}$ асчетные сочетания усилий при $\underline{N}_{max}$

Таблица 12

№		сочетания уси	Схема принятого сочетания нагрузок (№ таблиц) и	
сечения	М, кН∙м	Q, кH	N, ĸH	коэффициент их сочетания
0	0.000	-1.573	<u>-157.365</u>	2+3
1	4.286	4.347	-152.793	2+3
2	22.706	9.101	-148.103	2+3
3	50.700	15.073	-139.981	2+3
4	85.145	15.525	-138.228	2+3
5	118.279	13.529	-128.950	2+3
6	144.568	10.566	-120.123	2+3
7	162.758	6.749	-111.771	2+3
8	<u>171.866</u>	2.170	-103.912	2+3
9	171.101	-3.090	-96.562	2+3
10	159.817	-8.961	-89.731	2+3
11	137.479	-15.383	-83.431	2+3
12	103.641	-22.299	-77.669	2+3
13	57.922	-29.661	-72.453	2+3
14	0.000	-37.423	-67.788	2+3

Таблица 13

№ сечения	Расчетные сочетания усилий при -М <sub>мах</sub> М, кН·м Q, кН N, кН			Схема принятого сочетания нагрузок (№ таблиц) и коэффициент их сочетания
0	0.000	5.439	-140.616	2+(3+5)*0.9
1	-8.721	10.940	-136.029	2+(3+5)*0.9
2	-3.206	13.524	-131.345	2+(3+5)*0.9
3	2.662	12.460	-55.912	2+5
4	5.908	11.079	-53.196	2+5
5	7.045	7.747	-49.059	2+5
6	10.555	6.454	-45.121	2+5
7	10.596	4.775	-41.394	2+5
8	6.705	2.752	-37.887	2+5
9	3.636	-2.730	-34.606	2+5
10	-2.482	-5.336	-31.558	2+5
11	-13.462	-8.189	-28.746	2+5
12	<u>-16.144</u>	-25.812	-26.175	2+5
13	-6.592	-29.090	-23.848	2+5
14	0.000	<u>-51.972</u>	-55.037	2+(3+5)*0.9

В таблицах 10, 11, 12 и 13 приведены расчетные значения внутренних усилий при неблагоприятных сочетаниях постоянных и временных нагрузок. При учете одновременно двух и более временных нагрузок вводился коэффициент сочетаний  $n_c$ =0.9.

### 5. Подбор сечения арки

Для изготовления арки принимаем пиломатериал из древесины сосны 2 сорта толщиной 3,3 см. Коэффициент надежности по назначению  $\gamma_n = 0.95$ .

Оптимальная высота поперечного сечения арки находится в пределах h=(1/40-1/50)L=(1/40-1/50)4200=105-84 см, принимаем h=850 мм.

Согласно СНиП II-25-80, пп. 3.1 и 3.2, коэффициенты условий работы древесины будут при h =85 см,  $\delta_{\rm cn}$  = 3,3 см;  $m_{\rm 6}$  = 0,89;  $m_{\rm cn}$  =1,  $r_k/a$  = 5355/3,3 = 1623 > 500  $m_{\rm rh}$  =1;

 $r_k$  — радиус кривизны гнутой доски или бруска;

а – толщина гнутой доски или бруска в радиальном направлении.

соответственно расчетное сопротивление сжатию и изгибу

$$R_{\rm c} = R_{\rm H} = 0.89 \cdot 1.1 \cdot 16/0.95 = 15 \text{ M}\Pi a.$$

Толщину фанерных стенок принимаем равной  $\delta_{\rm cr}$ =12 мм. Используем фанеру из древесины лиственницы марки ФСФ сорта B/BB волокнами рубашек вдоль оси арки. Пояса выполняем клееными из 7 досок 260х33 мм (до острожки по сортаменту 275х40 мм) сечением  $b_{\rm n}xh_{\rm n}$ =260х231мм (рис. 13). Устраиваем в поясах по 2 пропила с тем, чтобы ширина пояса приклеиваемого к фанерной стенке не превышала 100 мм.

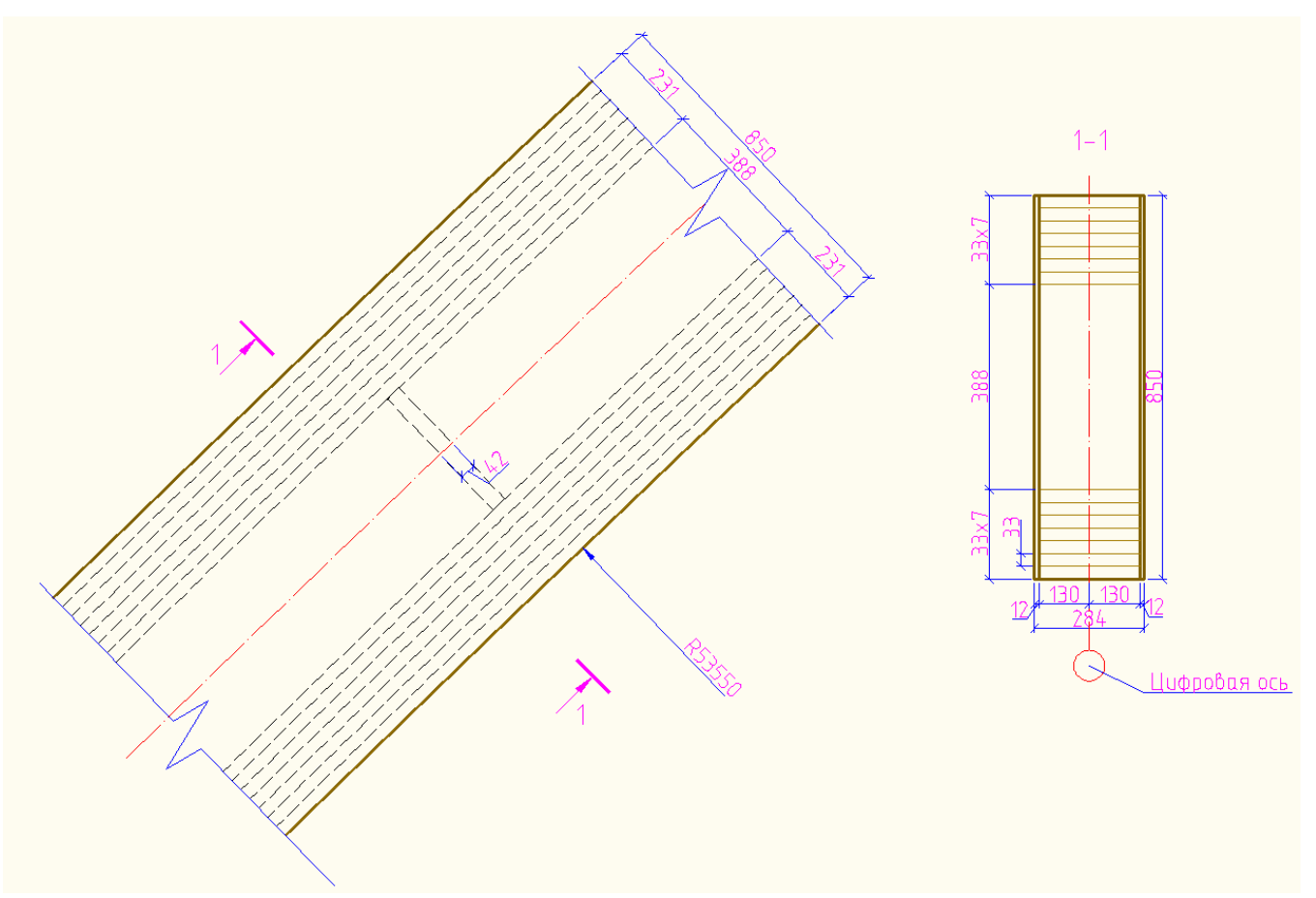


Рис. 13. Сечение клеефанерной арки.

Геометрические характеристики сечения арки приводимого к древесине при  $E_{\varphi}/E_{\pi}$ =70000/100000=0.7 в плоскости изгиба:

$$I_{\text{пр.}} = 2\left(\frac{26 \cdot 23,1^3}{12} + 26 \cdot 23,1 \cdot 30,95^2\right) + 2\frac{1,2 \cdot 85^3}{12} \cdot 0,7 =$$

$$= 1204046,844 + 85977,5 = 1290024,344 \text{ cm}^4;$$

$$I_{\text{пр.}\phi} = 2 \frac{1,2 \cdot 85^3}{12} = 122825 \text{cm}^4$$
 $W_{\text{пр.}} = \frac{2 \cdot 1290024,344}{85} = 30353,51 \text{ cm}^3;$ 

$$F_{\text{пр.}} = 2 \cdot 26 \cdot 23,1 + 2 \cdot 1,2 \cdot 85 \cdot 0,7 = 1344 \text{ cm}^2;$$

$$S_{\text{пр}} = S_{\text{д}} + S_{\phi} \cdot 0.7 = 26 \cdot 23,1 \cdot 30,95 + 2 \cdot 1.2 \cdot 42.5 \frac{42.5}{2} 0.7 = 20105.82 \text{cm}^3$$

$$S_{\phi} = 2 \cdot 1.2 \cdot 42.5 \frac{42.5}{2} = 2167.5 \text{cm}^3$$

$$\lambda = \frac{0.5 \cdot S}{\sqrt{\frac{I_{\text{np.x}}}{F_{\text{np.}}}}} = \frac{3009.3}{\sqrt{\frac{1290024.344}{1344}}} = 97.133 < 120;$$

Проверяем принятое сечение по расчетным усилиям в сечении 8 (табл. 10), наибольший изгибающий момент в сечении равен  $M_{max}$ =180.701 кH·м=0.181 МH·м,  $N_{coor}$ =-81.801 кH=-0.0818 МH,  $Q_{coor}$ =4.018 кH.

Расчет арки на прочность выполняем в соответствии с указаниями <u>СНиП II-</u> 25-80, п. 4.17, формула (28)

$$\sigma_{\rm c} = \frac{N}{F_{\rm np.}} + \frac{M_{\rm Д}}{W_{\rm np}} \le R_{\rm cp}$$

$$σc = \frac{8180.1}{1344} + \frac{2077011,5}{30353,51} = 74,5 \text{ krc/cm}^2 < Rc = 150 \text{ krc/cm}^2$$

$$ξ = 1 - \frac{\lambda^2 \cdot N}{3000 \cdot F_{\text{mp}} \cdot R_c} = 1 - \frac{97,133^2 \cdot 8180.1}{3000 \cdot 150 \cdot 1344} = 0.87$$

$${
m M}_{
m Z}=rac{{
m M}}{\xi}=rac{1807\cdot 10^3}{0.87}=2077011$$
,5 кгс $\cdot$ см

Проверяем клеевой шов между шпонами фанеры в месте приклейки к стенам поясов на максимальную поперечную силу в сечении 14 Q=5197.2 кгс;

Проверяем фанерную стенку на срез на уровне нейтральной оси по формуле (42) <u>СНиП II-25-80</u>, п. 4.27, 4.28

$$\tau_{\rm cp} = \frac{\textit{Q} \cdot \textit{S}_{\rm np}}{\textit{I}_{\rm np} \cdot \textit{\delta}_{\rm ct} \cdot \textit{n}} = \frac{5197.2 \cdot 20105.82}{1290024.344 \cdot 1.2 \cdot 2} = 33.75 \, {\rm kgc/cm}^2 < R_{\rm \phi.cp.} = 50 \, {\rm kgc/cm}^2$$

Проверяем фанерную стенку на скалывание на уровне нейтральной оси по формуле (42) СНиП II-25-80, п. 4.27, 4.28

$$au_{
m ck} = rac{Q \cdot S_{
m np}}{I_{
m np} \cdot h_{
m n} \cdot n} = rac{5197.2 \cdot 20105.82}{1290024.344 \cdot 23.1 \cdot 2} = 1,75 {
m krc/cm2} < R_{
m \phi.~ck.} = 6~{
m krc/cm}^2$$

где n=2 – число вертикальных клеевых швов;

Прочность стенки в опасном сечении на действие главных растягивающих напряжений проверяем по формуле (45) <u>СНиП II-25-80</u>, п. 4.30

$$\frac{\sigma_{c_T}}{2} + \sqrt{\left(\frac{\sigma_{c_T}}{2}\right)^2 + \tau_{c_T}^2} \le R_{\phi,p,\alpha}$$

$$1,425 + \sqrt{1,425^2 + 38,22^2} = 39.66$$
кгс/см<sup>2</sup>  $< R_{\phi,p,\alpha} = 50 \cdot 0.8 = 40$  кгс/см<sup>2</sup>

где  $R_{\phi,p,\alpha}$  — расчетное сопротивление фанеры растяжению под углом  $\alpha$  определяемое по графику рис. 17 прил. 5 СНиП II-25-80;

 $m_{\phi}$ =0,8, учитывающий снижение расчетного сопротивления фанеры стыкованной «на ус»;

 $\sigma_{cr}$  – нормальное напряжение в стенке от изгиба;

 $\tau_{cr}$  – касательные напряжения в стенке;

α – угол, определяемый из зависимости

$$tg2\alpha = \frac{2\tau_{cT}}{\sigma_{cT}} = \frac{2\cdot38.21}{2.85} = 26.81$$

 $\alpha$  = 0,5arctg (2 $\tau_{cr}/\sigma_{cr}$ ) = 0,5arctg (2·38.21/2.85) = 43.93°

$$\sigma_{\rm ct} = M \cdot 0.5 \cdot hct/Iπp = \frac{1807000 \cdot 0.5 \cdot 38.8}{122825} = 2.85 \text{ kgc/cm}^2$$

$$au_{\mathrm{ct}} = rac{Q \cdot S_{\mathrm{пp}}}{I_{\mathrm{пp}} \cdot \sum \delta_{\Phi}} = rac{5197.2 \cdot 2167.5}{122825 \cdot 1.2 \cdot 2} = 38.21 \mathrm{krc/cm^2}$$

Устойчивость стенки с продольным по отношению к оси элемента расположением волокон наружных слоев следует проверять на действие касательных и нормальных напряжений при условии

$$\frac{h_{cT}}{\delta} > 50$$

где  $h_{\rm cr}$  – высота стенки между внутренними гранями полок;

 $\delta$  – толщина стенки.

Так как  $\frac{h_{\rm cr}}{\delta} = \frac{85-2\cdot23.1}{1.2} = 32.33 < 50$  проверка стенки на местную устойчивость не требуется.

Проверим сечение на устойчивость плоской формы деформирования по формуле (33) п. 4.18 <u>СНиП II-25-80</u>.

$$\frac{N}{\varphi R_{c} F_{\delta p}} + \left(\frac{M_{\pi}}{\varphi_{M} R_{\mu} W_{\delta p}}\right)^{n} \leq 1,$$

в сечении 12 при совместном действии отрицательного изгибающего момента и продольной силы  $M_{max}$ =-16.144 кH·м  $N_{coor}$ =-26.175 кH.

Покрытие из плит шириной 150 см раскрепляет верхнюю кромку арки по всей длине, откуда

$$l_p = 150 \text{ cm} < 70 \cdot b^2 / (hm_6) = 70 \cdot 28.4^2 / (85 \cdot 1) = 664.2 \text{ cm},$$

т.е. имеет место сплошное раскрепление при положительном моменте сжатой кромки, а при отрицательном - растянутой, следовательно, показатель степени n = 1 в формуле (33), <u>СНиП II-25-80</u>.

Предварительно определяем:

а) коэффициент ф<sub>м</sub> по формуле (23), п. 4.14, СНиП II-25-80

$$\varphi_{\rm M} = k \cdot b^2 K_{\rm d} / (l_{\rm p} h) = 140.28, 4^2 \cdot 1, 13 / (3009.3.85) = 0,49$$

Согласно СНиП II-25-80, п. 4.14, к коэффициенту  $\phi_{\rm M}$  вводим коэффициенты  $K_{\rm жм}$  и  $K_{\rm HM}$ . С учетом подкрепления внешней кромки при m>4  $K_{\rm жm}=1$ 

$$K_{\text{HM}} = 0.142 l_{\text{p}}/h + 1.76 h/l_{\text{p}} + 1.4 \alpha_{\text{p}} = 0.142 \cdot 3009, 3/85 + 1.76 \cdot 85/3009, 3 + 1.4 \cdot 0.56 = 5.86;$$
  
$$\phi_{\text{M}} K_{\text{HM}} = 0.49 \cdot 5.86 = 2.87;$$

б) коэффициент  $\phi$  по <u>СНиП II-25-80</u>, п. 4.3, формула (8) для гибкости из плоскости

$$\varphi = A/\lambda_y^2 = 3100/366, 6^2 = 0,023$$
$$\lambda_y = \frac{0.5 \cdot S}{0,289 \cdot b} = \frac{3009.3}{0.289 \cdot 28.4} = 366.6$$

Согласно <u>СНиП II-25-80</u>, п. 4.18, к коэффициенту  $\phi$  вводим коэффициент  $K_{\text{H/V}}$ , который при m > 4 равен:

$$K_{\text{HN}} = 0.75 + 0.06(l_{\text{p}}/h)^2 + 0.6\alpha_{\text{p}}l_{\text{p}}/h = 0.75 + 0.06(3009,3/85)^2 + 0.6\cdot0.56\cdot3009,3/85 = 87,85;$$

$$\phi K_{HN} = 0.023.87,85 = 2.02$$

Подставив найденные значения в формулу (33) СНиП II-25-80, получим

$$N/(F_{\rm np}\varphi R_{\rm c}) + M_{\rm A}/(W_{\rm np}\varphi_{\rm M}R_{\rm H}) = 2617.5/(1344\cdot2.02\cdot150) + 2077011.5/(30353.1\cdot2.87\cdot150) = 0.0064275 + 0.16 = 0.166 < 1.$$

Таким образом, условие устойчивости выполнено и раскрепления внутренней кромки в промежутке между пятой и коньковым шарниром не требуется.

Для увеличения жесткости конструкции введем ребра жесткости  $b_p x h_p = 260 x 100 \ l = 388 mm$ , с шагом

$$a=(\frac{1}{8} \div \frac{1}{10})L=\frac{3009.3}{10}=300.93cm$$

По концам полуарок (от торцов до первых стыков фанерной стенки) сечение выполняем сплошным дощатоклееным из 26 досок с устройством восьми пропилов шириной 0,5 мм, глубиной до 30 мм с расстоянием между ними в свету 90мм<100мм.

Верхний пояс проектируем из древесины II сорта, нижний – I сорта.

# **6.** Расчет узлов арки **6.1** Расчет опорного узла

Опорный узел, соединяющий конец арки с фундаментом, решается с помощью стального башмака, состоящего из горизонтального опорного листа, двух вертикальных боковых фасонок и упорной диафрагмы между ними (Рис. 14). Листовая сталь мА

рки Вст3пс6-1. Опорный узел выполнен с применением цилиндрического шарнира. Марка стали для шарнира 16Г2АФ.

Действующее усилие на торце арки  $N_0$ =-157.365 кH,  $Q_0$ =10.574 кH.

Определяем требуемый диаметр цилиндрического шарнира из условия сопротивления изгибу металла стержня:

$$\sigma = M/W = [N \cdot (h_{\text{on.nucr}}/2)^2 / h_{\text{on.nucr}}]/[\pi \cdot d^3/32] \le R_y \gamma_n$$

$$d = \sqrt[3]{32 \cdot N \cdot (h_{\text{on.nucm}}/4) / \pi \cdot R_y \cdot \gamma_n} = \sqrt[3]{32 \cdot 157.365 \cdot (30/4) / (3.14 \cdot 37.5 \cdot 0.95)} = 7.9632 \text{ cm}$$

где,  $R_y$ =37.5 кH/см $^2$  – расчетное сопротивление изгибу стали марки  $16\Gamma 2A\Phi$ .

Принимаем стержень шарнира d=90 мм из стали марки 16Г2АФ.

Определяем толщину упорных листов для шарниров из условия сопротивленя стали смятию.

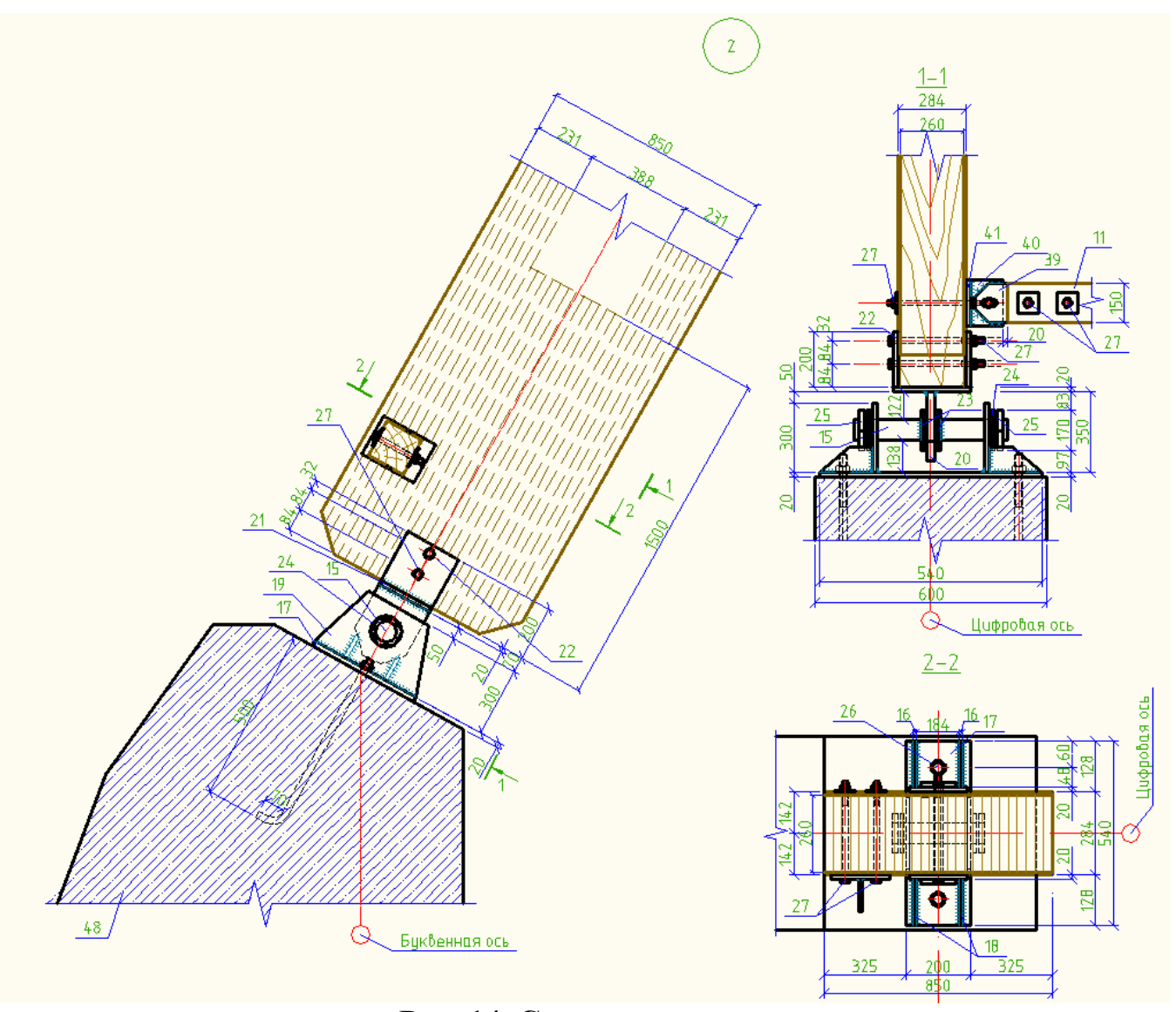


Рис. 14. Схема опорного узла.

Расчетное усилие, которое может быть воспринято одним болтом (в нашем случае стержень шарнира) по смятию элементов, расчитывется по формуле:

$$N_{cM} = R_{cM} \cdot \gamma_{\delta} \cdot A_{cM}$$

где,  $R_{cm}$  – расчетное сопротивление смятию элементов, соединяемых болтами, для марки стали  $Bct3\pi c6-1$   $R_{cm}$ =420  $M\Pi a$ =42  $\kappa H/cm^2$ ,

 $\gamma_6$  – коэффициент условий работы соединения, для болтов грубой и нормальной точности  $\gamma_6$ =0.9,

 $A_{cm}$  – площадь смятия.

Площадь смятия, в нашем случае, при 2-ух участках опирания (2 опорных столика для шарнира) и в предположении, что опирается на  $\frac{1}{4}$  длины окружности стержня шарнира, равна:

$$A_{cm} = n \cdot l_{on} \cdot t_{\pi} = 2 \cdot 7.065 \cdot 1.2 = 16.956 \text{cm}^2$$
  
 $l_{on} = (2 \cdot \pi \cdot R) \cdot 1/4 = 2 \cdot 3.14 \cdot 4.5 \cdot 1/4 = 7.065 \text{ cm}$ 

где, n=2 — число участков опирания, R=d/2=9/2=4.5 см.

Из вышеприведенных условий получаем выражение для определения толщины листа:

$$t_n = N/(R_{cm.m.} \cdot \gamma_6 \cdot n \cdot l_{on}) = 157.365/(34.5 \cdot 0.9 \cdot 2 \cdot 7.065) = 0.359 \text{ cm}$$

где,  $R_{\text{см.м.}}$ =345 МПа – расчетное сопротивление стали марки Вст3пс6-1 местному смятию торцевой поверхности в цилиндрических шарнирах (цапфах) при плотном касании.

Принимаем, из сортамента горячекатаной прокатной стали, большее значение  $t_n=12$  мм (Рис. 14).

Толщину для опорного листа, крепящего к арке, принимаем из условия равнозначной работы, то есть  $2t_n=2\cdot 12=24$  мм.

Размеры башмака определяем исходя из требований закрепления его к фундаменту и арке.

Размеры опорного листа башмак находим исходя из требований закрепления его анкерными болтами Ø20 и ширины сечения арки:

$$b_{\text{оп.лист}} \ge b_{ap} + n_{yq} \cdot 2.5 \cdot d = 28.4 + 2 \cdot 2.5 \cdot 2 = 38.4 \text{см}$$

Принимаем  $b_{\text{оп.лист}}$ =54 см=0.54 м>0.384 м (Рис. 14).

$$h_{\text{оп пист}} \ge n_6 \cdot 2.5 \cdot d = 2 \cdot 2.5 \cdot 2 = 10 \text{ cm}$$

где, d=2 см – диаметр принятых анкерных болтов;

 $n_{yy}$ =2 — число участков, на которые делят анкерные болты опорный лист в ширину.

Принимаем  $h_{\text{оп.лист}}$ =20 см=0.2 м>0.10 м (Рис. 14).

Расстояние между осями цилиндрических нагелей вдоль волокон древесины  $S_1$ , поперек волокон  $S_2$  и от кромки элемента  $S_3$  следует принимать не менее: для стальных нагелей  $S_1$ =7d,  $S_2$ =3.5d,  $S_3$ =3d (по СНиП II-25-80\* «Деревянные конструкции», пункт 5.18).

Размеры двух фасонок принимаем:

$$b_{\phi ac} \ge n_6 \cdot 3.5 d = 2 \cdot 3.5 \cdot 1.2 = 8.4 \text{ см}$$
  
 $h_{\phi ac} \ge n_6 \cdot 7 d = 2 \cdot 7 \cdot 1.2 = 16.8 \text{ см}$ 

Принимаем:  $b_{\phi ac}$ =10 см >8.4 см,  $h_{\phi ac}$ =20 см >16.8 см (Рис. 14).

Площадь смятия равна:  $A_{cm} = h_{oп.лист} \cdot b_{ap} = 0.2 \cdot 0.284 = 0.0568 \text{ m}^2 = 568 \text{ cm}^2$ .

Расчетное сопротивление смятию:

$$R_{_{CM}}^{^{*}}=R_{_{CM}}\cdot m_{_{BH}}\cdot m_{_{G}}\cdot m_{_{H}}\cdot m_{_{CR}}\cdot m_{_{n}}\,/\,\gamma_{_{n}}=11\cdot 1\cdot 0.89\cdot 1.2\cdot 1\cdot 1.2\,/\,0.95=14.84\ M\Pi a$$

Прочность торцевого сечения на смятие:

То есть, прочность торцевого сечения на смятие обеспечена.

Болты, крепящие стальной башмак к арке, воспринимают поперечную силу  $Q_0$ =10.574 кH, которая действует перпендикулярно продольным волокнам (Рис. 14).

Принимаем болты  $\emptyset$ 12 мм, которые работают как симметричные двухсрезные при толщине сечения арки  $b_{ap}$ =28,4 см (Рис. 14). В нашем случае угол смятия равен  $\alpha$ =90°. С учетом диаметра болтов и угла смятия получим, что коэффициент учета угла смятия  $k_{\alpha}$ =0.7 (по СНиП II-25-80\* «Деревянные конструкции», таблица 19).

Несущая способность болта в одном срезе по изгибу:

$$T_u = 2.5 \cdot d^2 \cdot \sqrt{k_\alpha} = 2.5 \cdot 1.2^2 \cdot \sqrt{0.7} = 3.012 \ \kappa H$$

Несущая способность древесины по смятию:

$$T_{cy} = 0.5 \cdot c \cdot d \cdot k_{\alpha} = 0.5 \cdot 28.4 \cdot 1.2 \cdot 0.7 = 11.928 \text{ } \kappa H$$

 $c=b_{ap}=28,4$  см — ширина сечения, в котором находится болт.

Требуемое число болтов определяем исходя из наименьшего из несущих способностей:

$$n_{mn} = Q/(2T_{min}) = 10.574/(2 \cdot 3.012) = 1.76$$

Принимаем 2 болта Ø12 мм (Рис. 14).

#### Определяем толщину опорного листа.

Лист работает на изгиб от давления торца полуарки и реактивного давления фундамента. Силы  $P_1$ = $P_2$  приложены от края опорного листа на расстоянии a=128+ $t_{yп.лист}$ /2=230+12/2=134 мм Длина торца:  $l_1$ = $2t_{yп.лист}$ = $2 \cdot 1.2$ =2.4 см. (Рис. 14). Длина листа:  $l_2$ = $b_{oп.лист}$ =54 см (Рис. 14). Расчетная ширина сечения  $b_p$ =1 см.

Давление торца от лобового упора:

 $q_1$ = $\sigma_{cm}/b_p$ =[(N/2)/ $A_{y\pi}$ ]· $b_p$ =[(N/2)/( $h_{o\pi,\pi\mu c\tau}$ · $t_{y\pi,\pi\mu c\tau}$ )]/· $b_p$ =[78682.5/(20·1.2)]·1=3278.44H/cм² Давление фундамента:  $q_2$ =  $q_1$ · $l_1$ / $l_2$ =3278.44·2.4/54=145.71 H/cм². Изгибающий момент:

 $M=q_2\cdot l_2^2/8-q_1\cdot a=(145.71\cdot 54^2/8)-3278.44\cdot 13.4=9180.199\ H\cdot cm=9.181\ кH\cdot cm$  Расчетное сопротивление стали опорного листа равно R=240 МПа=24 кH/cm². Требуемый момент сопротивления равен:  $W_{\tau p}=M/R$ .

Требуемая толщина опорного листа равна:

$$t_{\text{Off,Jimet}} = \sqrt{(6 \cdot \text{M/R})} = \sqrt{(6 \cdot 9.181/24)} = 1.752 \text{ cm}$$

где,  $R_y$ =24 кH/см<sup>2</sup> — расчетное сопротивление изгибу стали марки Вст3пс6-1. Принимаем ближайшее большее значение из сортамента прокатной стали  $t_{\text{оп.лист}}$ =20 мм (Рис. 14).

### Расчет анкерных болтов.

Анкерные болты считаем исходя из условия сопротивления срезу металла болтов, так как болты в данной конструкции работают на срез.

Принимаем болты  $\emptyset 20$  нормальной точности. Класс прочности болта примем 5.8, имеющий расчетное сопротивление срезу равное  $R_{\text{б.срез}}$ =200 МПа=20 кH/см² («Металлические конструкции» под редакцией Е.И. Беленя, Москва, «Стройиздат», 1986 г., таблица 6.1, стр. 113). Число срезывающих плоскостей равна 1. Отверстия под болты нормальной точности в опорной плите на 3 мм больше, в нашем случае  $d_{\text{отв}}$ =20+3=23 мм. Коэффициент условий работы болтового соединения  $\gamma_6$ =0.9 – для болтов грубой и нормальной точности в многоболтовом соединении.

Площадь сечения болта:  $A_6 = \pi d^2/4 = 3.14 \cdot 2^2/4 = 3.14 \text{ cm}^2$ .

Площадь сечения болта нетто:  $A_{6.\text{нетто}} = 0.85 A_6 = 0.85 \cdot 3.14 = 2.669 \text{ cm}^2$ .

Максимальная поперечная сила, перерезывающая болты, равна Q=51.972 кH.

Несущая способность одного болта, имеющего один рабочий срез:

Ha cpe3: 
$$N_{cpe3} = R_{6,cp} \cdot A_6 \cdot n_{cpe3} \cdot \gamma_6 = 20 \cdot 3.14 \cdot 1 \cdot 0.9 = 56.52$$
 κH

На смятие листа:  $N_{\text{смят.}} = R_{\text{см.стали}} \cdot \gamma_{\text{б}} \cdot t_{\text{оп.листа}} \cdot d = 42 \cdot 0.9 \cdot 2 \cdot 2 = 151.2 \text{ кH}.$ 

где,  $R_{cm.cтали}$ =420 МПа=42 кH/см<sup>2</sup> – расчетное сопротивления местному смятию стали в болтовом соединении для марки стали Вст3пс6-1.

Количество болтов на полулисте:

$$n=Q/(\gamma_n \cdot N_{min})=51.972/(0.95 \cdot 56.52)=0.97$$

Так как необходимо симметричное расположение, то принимаем 2 анкерных болта  $\emptyset$ 20 (ГОСТ 24379.1-80\*).

Длину анкеровки в бетонный фундамент принимаем исходя из минимальных требований ГОСТ 24379.1-80\*, равный L= $25d=25\cdot20=500$  мм. Длину загнутой части анкера также принимаем из требований ГОСТ 24379.1-80\*, равный для  $\emptyset$ 20 1=70 мм (ГОСТ 24379.1-80\*, таблица 2).

#### 6.2 Расчет конькового узла

Коньковый узел конструируем с помощью двух стальных креплений из упорного листа и двух фасонок с отверстиями для болтов (Рис. 15). Размеры фасонок и опорных листов в коньковом узле следующие:  $h_{\text{оп.лист}}$ =38.2 см,  $b_{\text{оп.лист}}$ =32.4 см,  $h_{\text{фас.}}$ =22 см,  $b_{\text{фас.}}$ =41 см (Рис. 15).

Площадь смятия:  $A_{cm} = h_{on,лист} \cdot b_{ap} = 38.2 \cdot 28.4 = 1084.88 \text{ cm}^2$ .

Коньковый узел рассчитываем на действие максимального продольного усилия  $N_{18}$ =-67.788 кH и поперечной силы  $Q_{18}$ =-51.972 кH.

## Проверка торцового сечения полуарки на смятие.

Угол смятия равен  $\alpha_{18}$ =28.901° к волокнам древесины.

Расчетное сопротивление смятию под углом  $\alpha_{18}$ =28.901°:

$$R_{_{CM,\alpha}} = \frac{R_{_{CM}}}{1 + \left(\frac{R_{_{c}}}{R_{_{CM,90}}} - 1\right) \cdot \sin^3 \alpha} = \frac{11}{1 + \left(\frac{11}{3} - 1\right) \cdot \sin^3 28.901^0} = 6.786 \ M\Pi a = 0.6786 \ \kappa H / cm^2$$

Напряжения смятия в коньковом узле:

$$\sigma = \frac{N_{\text{max}}}{A_{\text{cM}}} = \frac{67.788 \ \kappa H}{1084.88 \,\text{cm}^2} = 0.06248 \ \kappa H / cm^2 < 0.6786 \ \kappa H / cm^2$$

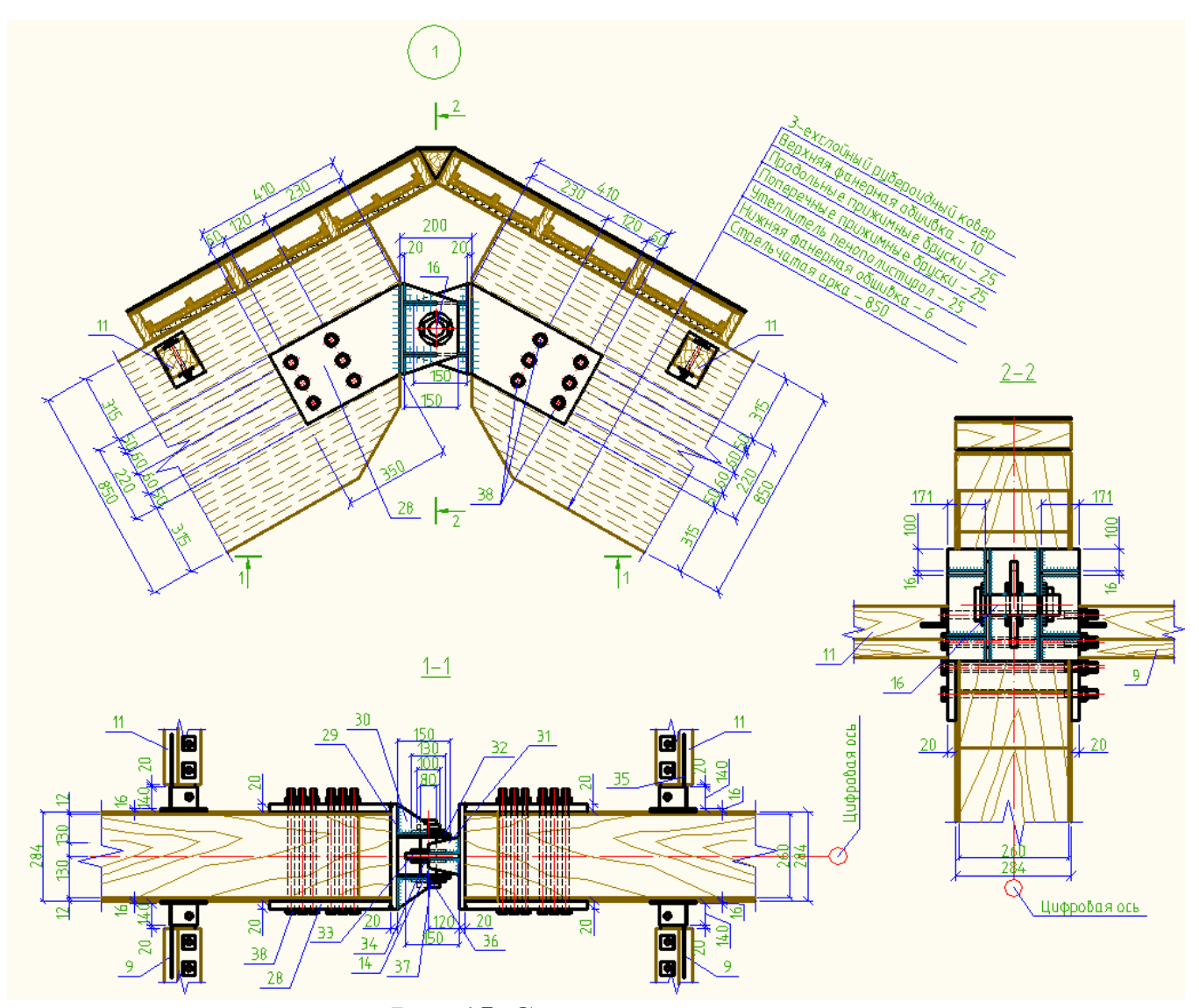


Рис. 15. Схема конькового узла.

# Определение числа болтов, крепления конца полуарки к фасонкам.

Болты должны воспринимать на себя максимальное поперечное усилие, возникающее от действия  $Q_{14}$ =-51,92 кН в коньковом узле.

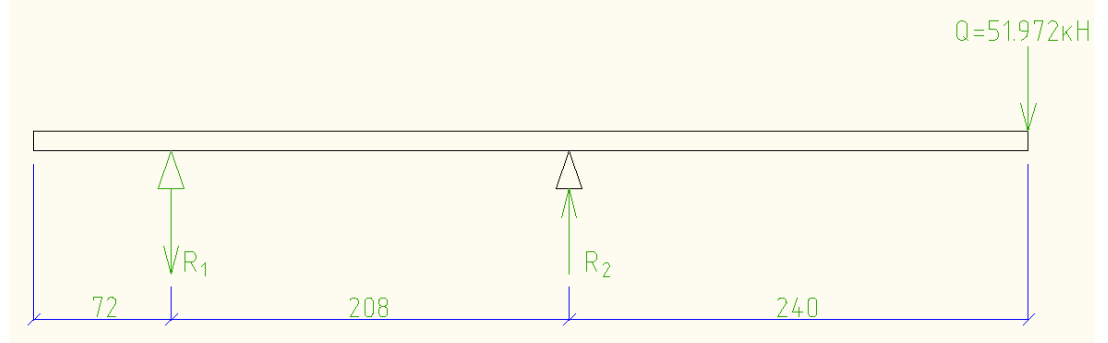


Рис. 16. Схема действия максимального поперечного усилия на болты в коньковом узле.

Определим реакции:

$$R_2 = \frac{51.972 \cdot (0.24 + 0.208)}{0.208} = 111.83 \text{ кH};$$
  $R_1 = -\frac{51.972 \cdot 0.24}{0.208} = 59.97 \text{ кH};$ 

Принимаем болты ø36 мм.

Угол смятия древесины равен:  $\alpha$ =90°-28.901°=61.099°. При этом коэффициент учета угла смятия равен:  $k_{\alpha}$ =0.596 (по СНиП II-25-80\* «Деревянные конструкции», таблица 19).

Несущая способность болта по изгибу:

$$T_u = 2.5d^2 \sqrt{k_\alpha} = 2.5 \cdot 3.6^2 \sqrt{0.596} = 25.01 \ \kappa H$$

Несущая способность древесины по смятию:

$$T_{cm} = 0.5cdk_{\alpha} = 0.5 \cdot 28.4 \cdot 3.6 \cdot 0.596 = 30.47 \ \kappa H$$

Требуемое количество болтов в месте действия реакции  $R_1$ :

$$n_{mn1} = R_1/(2T_{min}) = 59.97/(2 \cdot 25.01 \cdot 0.95) = 1.3$$

Требуемое количество болтов в месте действия реакции  $R_2$ :

$$n_{mn2} = R_2/(2T_{min}) = 111.83/(2 \cdot 25.01 \cdot 0.95) = 2.4$$

Принимаем кол-во болтов в месте действия  $R_1$ ,  $n_{61}$ =3 штуки ø36 мм (Рис. 15), в месте действия  $R_2$ ,  $n_{61}$ =3 штуки ø36 мм.

Усилие, воспринимаемое цилиндрическим шарниром:

$$N_{obs} = \sqrt{N^2 + Q^2} = \sqrt{67.788^2 + 51.972^2} = 85.418 \text{ } \kappa H$$

Напряжение в шарнире:

$$\sigma = M/W = [N \cdot (l_{on}/2)^2/l_{on}]/[\pi \cdot d^3/32] \le R_v \gamma_n$$

Определим диаметр шарнира:

$$d = \sqrt[3]{32 \cdot N_{obs} \cdot (l_{on.}/4)/\pi \cdot R_y \cdot \gamma_n} = \sqrt[3]{32 \cdot 85.418 \cdot (35.6/4)/(3.14 \cdot 37.5 \cdot 0.95)} = 6.014 \text{ cm}$$

где,  $R_v$ =37.5 кH/см $^2$  – расчетное сопротивление изгибу стали марки  $16\Gamma 2A\Phi$ .

Принимаем стержень шарнира d=80 мм из стали марки 16Г2АФ.

## 7. Устройство связей по покрытию

Для повышения пространственной жесткости конструкций в зданиях и сооружениях больших пролётов принято устраивать горизонтальные и вертикальные связи жесткости. В качестве связей жёсткости могут выступать брусья, неравнополочные и равнополочные уголки, швеллеры, полосовая сталь и другие виды проката.

Связи бывают скатные (наклонные), вертикальные и горизонтальные.

В зданиях, каркас которых выполнен из деревянных конструкций, применяют в основном два вида связей:

- 1) связевые фермы, располагаемые вертикально, наклонно и горизонтально, поперек здания по наружному контуру несущих конструкций; в сочетании со связевыми фермами применяют продольные связи в виде элементов ограждающих конструкций (прогоны, настилы, панели);
- 2) продольные (вертикальные или наклонные) связи, плоскость которых располагается перпендикулярно плоскости несущих конструкций; эти связи закрепляют нижние пояса несущих конструкций.

В данном здании предусмотрены скатные связи в виде распорок и раскосов из деревянных брусьев. Располагаем эти связи на торцах и в середине здания.

#### 8. Защита деревянных конструкций от гниения

Клееные деревянные конструкции в зависимости от назначения должны быть защищены от увлажнения и биоповреждения.

Элементы несущих конструкций, предназначенных для эксплуатации при влажности окружающей среды 75% и более, должны подвергаться влагозащитной обработке различными лаками: ПФ-115, ПФ-113 и т. п.

Если влажность окружающей среды в период эксплуатации не превышает 75%, то защищаемые элементы могут быть обработаны ПФ-170. Торцы и места соприкосновения деревянных несущих конструкций с грунтом или конструкциями из других материалов и между собой обрабатываются антисептическими пастами

марок: 100, 150, 200, 300... или эпоксидной шпаклёвкой ЭП-00-10 согласно ГОСТ 10277-62.

Детали каркаса плиты и панелей, а так же поверхности обшивок, обращённые внутрь плит и панелей, подвергаются только поверхностной обработке указанными выше составами.

Кроме того, для защиты деталей каркаса можно применять фосфорнокислый алюминий с добавкой  $(70-75 {\rm kr/m}^3)$  фтористого натрия при условии пропитки деталей в ваннах с предварительным подогревом.

#### 9. Защита деревянных конструкций от возгорания

Для замедления процесса разложения древесины при воздействии на него огня и предотвращения воспламенения продуктов разложения, а так же для устранения распространения пламени по поверхности деревянных элементов конструкций существуют ряд химических и конструктивных мероприятий.

Наилучший эффект защиты древесины достигается глубокой пропиткой её растворами огнезащитных солей после вакуума под давлением в автоклавах при расходе 80-100 кг сухой смеси на 1м<sup>2</sup> древесины.

Для получения раствора, обладающего одновременно огнезащитными и антисептическими свойствами, в состав добавляется фтористый натрий. Хорошие результаты даёт такая пропитка древесины в горячехолодных ваннах.

Деревянные конструкции, подверженные постоянному интенсивному воздействию пламени и искр, а так же лучистой теплоты, необходимо оградить несгораемыми экранами, препятствующими повышению температуры древесины свыше  $50^{\circ}$  С.

Для этой цели могут служить слой термоизоляционной штукатурки толщиной 1-1.5 см, нанесённый на поверхность деревянных элементов, обшивка деревянных поверхностей асбестовым картоном и другими огнезащитными листовыми материалами: облицовка их плитами из материала, обладающего огнестойкими свойствами.

Для защиты от возгорания конструкций следует применять в качестве заполнителя и для кровли несгораемые или трудносгораемые материалы.

Стены и перегородки рекомендуется с гладкой поверхностью без деревянных выступов внутри помещений; следует применять массивные конструкции из

брусьев, брёвен и клееных элементов с закругленными углами и тщательно простроганными и зашпаклёванными поверхностями.

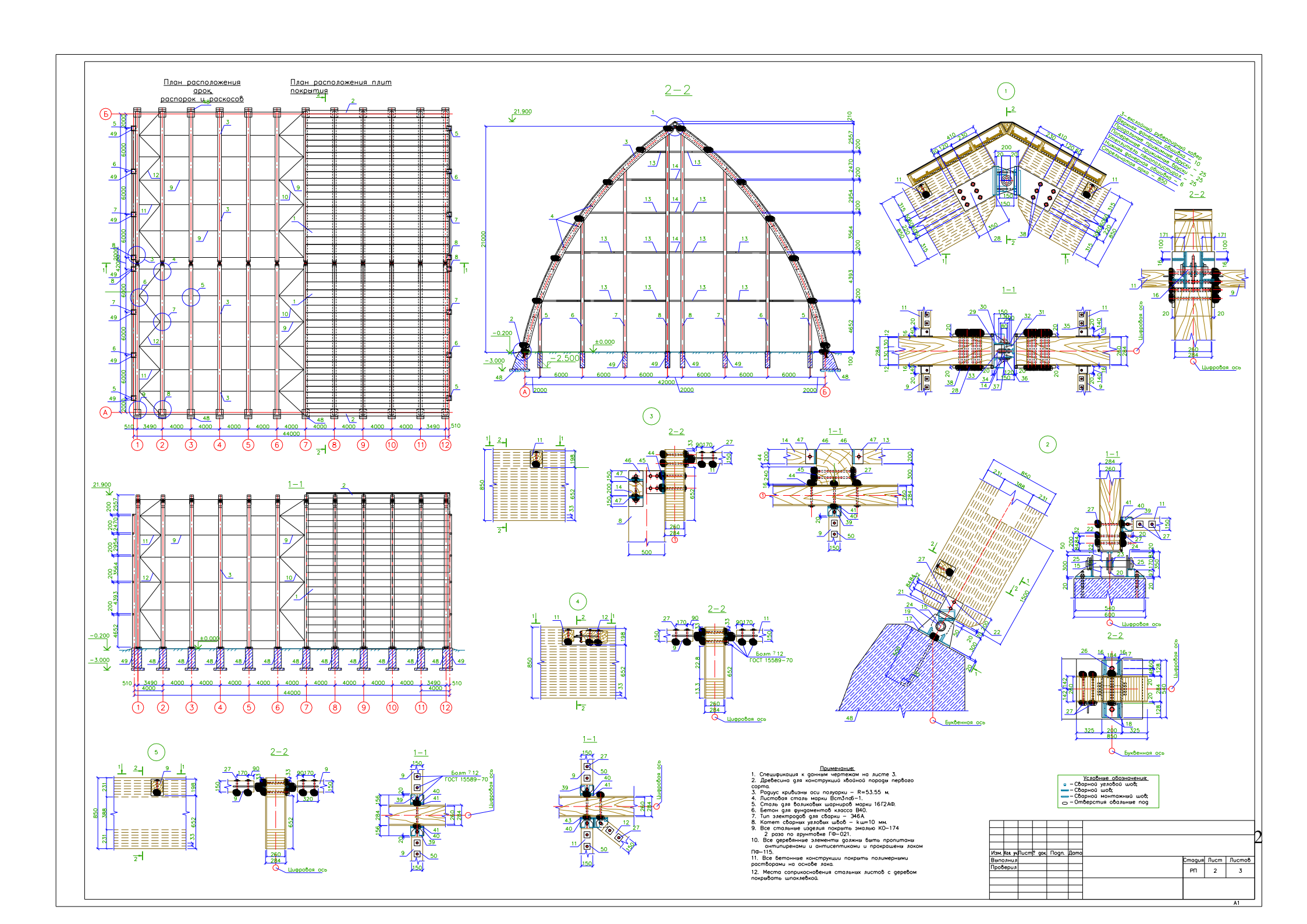
# 10. Защита металлических элементов и железобетонных конструкций от коррозии

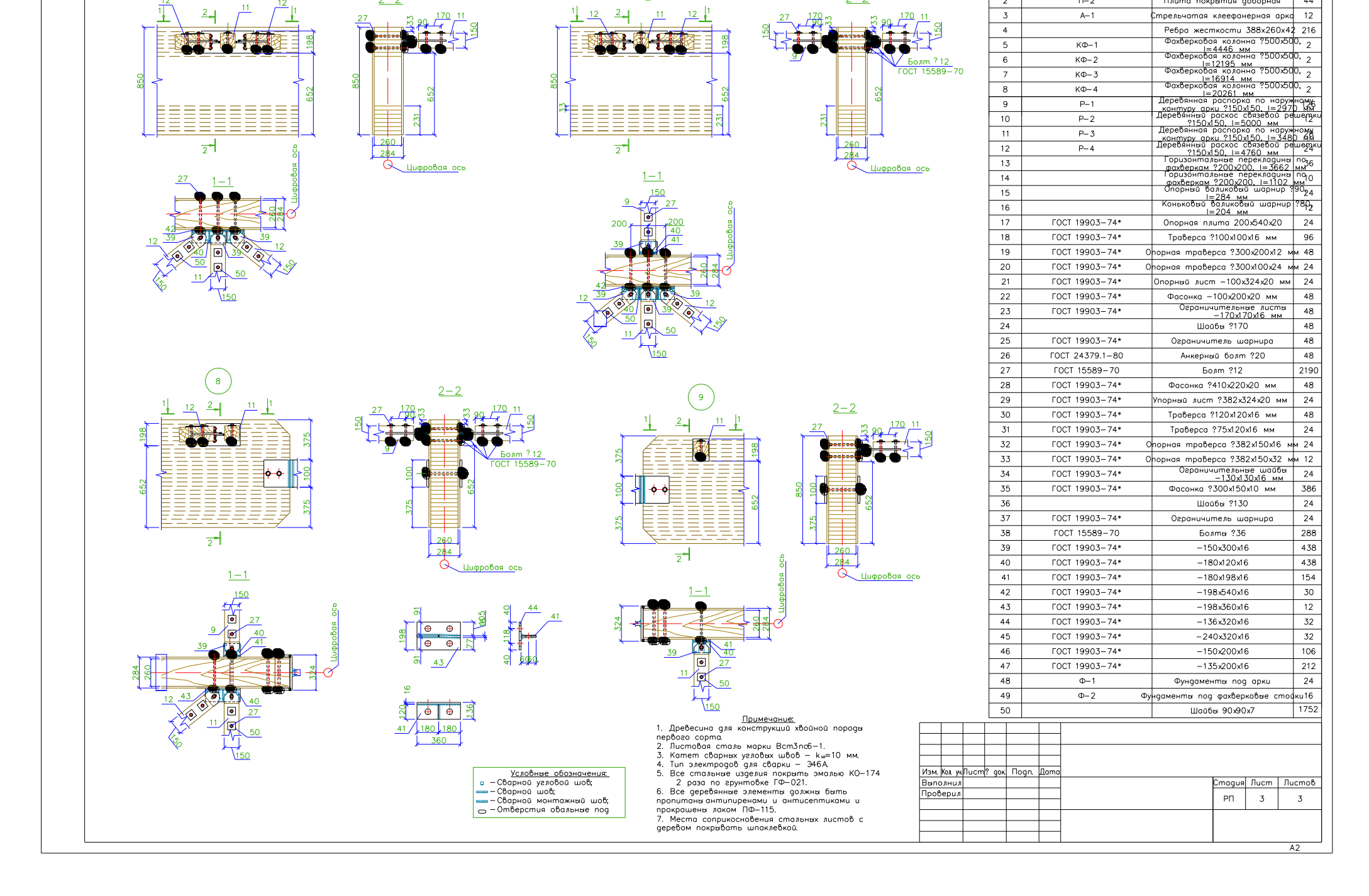
Все металлические элементы, в соответствии с требованиями СНиП 2.03.11-85 «Защита строительных конструкций от коррозии», должны быть окрашены эмалью КО-174 (ТУ 6-02-576-87) за 2 раза по грунтовке ГФ-021 (ГОСТ 18186-79). Также, должны быть окрашены болты, гайки, шайбы и другие крепежные детали после закрепления их в проектное положение.

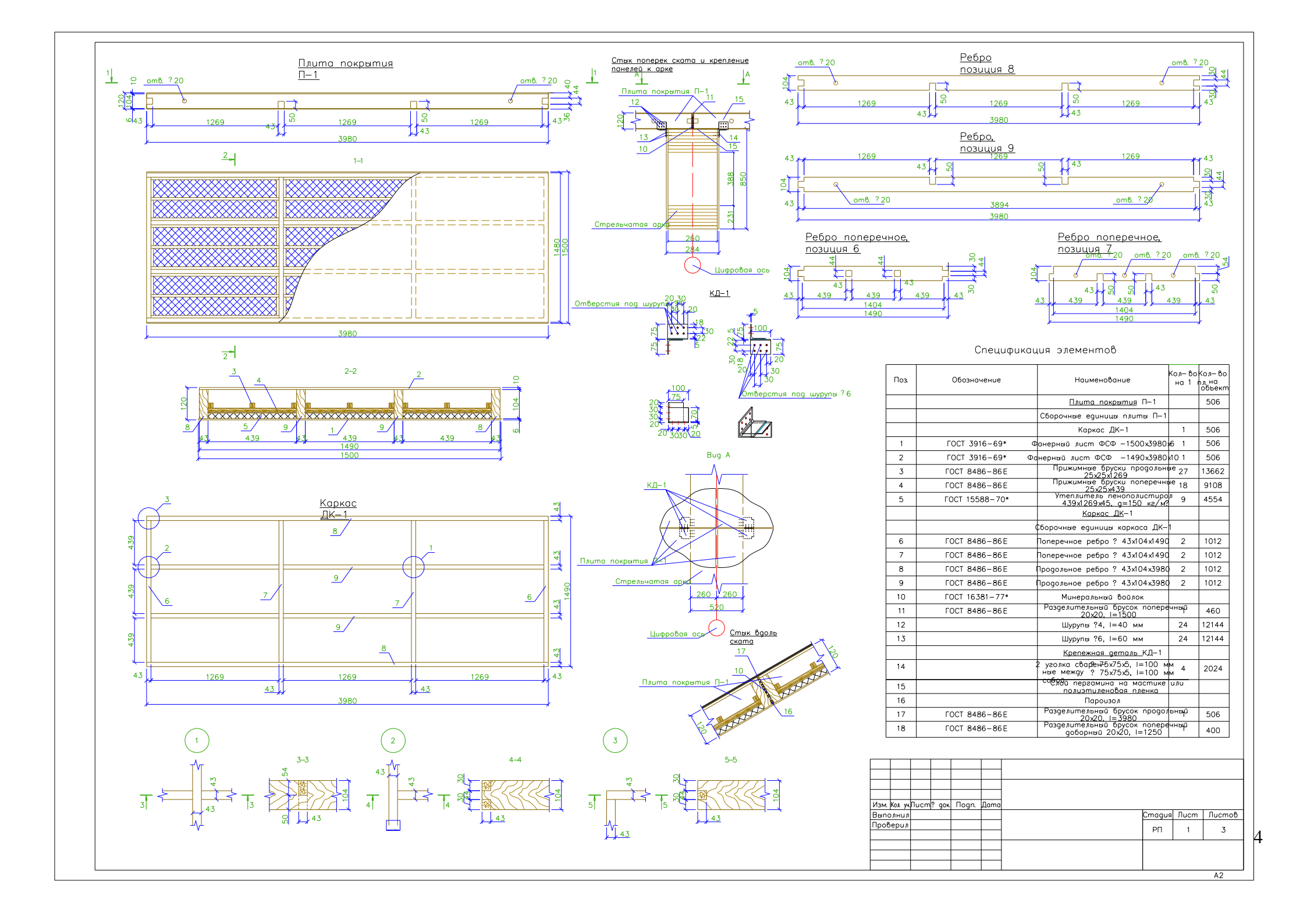
В зоне контакта металлического опорного листа с монолитным железобетонным фундаментом (зона контакта двух различных материалов) необходимо проставлять прокладку из толя (ТУ 21-27-05-68).

Из железобетона в данном проектном решении выполняются фундаменты: под конструкции стрельчатые арки, несущие ПОД дополнительной жесткости фахверковые колонны. Bce железобетонные требованиями СНиП 2.03.11-85 «Защита конструкции, соответствии c строительных конструкций от коррозии», должны быть покрыты полимерными растворами на основе лака ХП-734 (ТУ 6-02-1152-82).

#### 11. Пример графической части курсового проекта







### Список использованной литературы

- 1. «Примеры расчёта и конструирования плит покрытия» Устарханов О. М, Вишталов Р. И, Калиева М. Х, Сулейманов А. М. Махачкала, ДГТУ, 2005 г.
- 2. СНиП II-25-80. «Деревянные конструкции». Москва, «Стройиздат», 1982 г.
- 3. Пособие по проектированию деревянных конструкций (к СНиП II-25-80) ЦНИИСК им. В. А. Кучеренко. Москва, «Стройиздат», 1986 г.
- 4. СНиП II-23-81\*. «Стальные конструкции». Москва, Госстрой России, 1988 г.
- 5. СНиП 2.01.07-85\*. «Нагрузки и воздействия». Москва, Госстрой России, 2005 г.
- 6. ГОСТ 24379.1-80. «Болты фундаментные». Москва, Госстрой России, 2005 г.
- 7. СНиП 23-02-2003. «Тепловая защита зданий». Москва, Госстрой России, 2005 г.
- 8. СНиП 23-01-99. «Строительная климатология». Москва, Госстрой России, 2005 г.
- 9. МДС 31-4.2000. «Пособие по проектированию анкерных болтов для крепления строительных конструкций и оборудования». Москва, ЦНИИпромзданий, 2005 г.
- 10. «Проектирование и расчет деревянных конструкций: справочник» И. М. Гринь, Д.М. Бабушкин и др. Киев, «Будивельник», 1988 г.
- 11. «Справочник проектировщика: Деревянные конструкции» Отрешко А. И. Москва, 1957 г.
- 12. «Конструкции из дерева и пластмасс» В.А. Иванов. Киев, «Высшая школа», 1981 г.
- 13. «Конструкции из дерева и пластмасс» Г.Н. Зубарев, И.М. Лялин. Москва, «Высшая школа», 1980 г.
- 14. «Индустриальные деревянные конструкции. Примеры проектирования» Ю.В. Слицкоухов и др. Москва, «Стройиздат», 1991 г.
- 15. «Конструкции из дерева и пластмасс» Г.Г. Карлсен. Москва, «Стройиздат», 1986 г.
- 16. «Строительные конструкции из дерева и синтетических материалов: проектирование и расчет» И. М. Гринь. Киев, «Высшая школа», 1975 г.
- 17. «Конструкции из дерева и пластмасс» Ю. Н. Хромц. Москва, «Академия», 2008 г.
- 18. «Конструкции из дерева и пластмасс: Общий курс» Прокофьев А. С. Москва, «Стройиздат», 1996 г.
- 19. «Конструкции из дерева и пластмасс» Гаппоев М. М. Москва, 2004 г.
- 20. «Деревянные конструкции» Иванов В. Ф. Ленинград, Государственное издательство литературы по строительству и архитектуре, 1956 г.
- 21. «Примеры расчета конструкций из дерева и пластмасс» Шишкин В. Е. Москва, «Стройиздат», 1974 г.
- 22. «Конструкции из дерева и пластмасс» Арленинов Д. К. Москва, «АСВ», 2002 г.
- 23. «Атлас строительных конструкций из клееной древесины и водостойкой фанеры» Шмидт А. Б., Дмитриев П. А. Москва, «Ассоциации строительных вузов», 2002 г.
- 24. «Атлас деревянных конструкций» К.-Г. Гётц, Д. Хоор, К. Мёлер, Ю. Наттерер. Москва, «Стройиздат», 1985 г.
- 25. «Проектирование и расчет конструкций из дерева и пластмасс» И. С. Борисова. Кострома, Костромской ГСХА, 2005 г.